

透射电子显微学

第一章 电子显微学概论

材料(或物质)的宏观物理、化学和力学等性质，是由其微观形态、结构和化学组分所决定的。电子显微学是以电子显微镜为工具，研究材料或物质的微观形态、结构及其化学组分的科学。

由于电子显微镜兼备“微观”和“直观”两大特点，而且能同时进行结构测定和成分分析，因此，在材料研究中日益显示其优越性和重要性。近20年来，随着分辨率的不断提高，电子显微学理论的不断完备，电子显微技术的不断完善，电子显微术在物理、化学、材料科学、地质矿物、生物医学各个领域都取得了一系列令人瞩目的突出成果。1982年，英国科学家 A·Klug 教授把衍射原理和电子显微术巧妙结合起来，发展了生物大分子结构三维重构的方法，把生物大分子结构的研究提高到一个崭新的水平，从而获得了1982年诺贝尔化学奖。1986年的诺贝尔物理学奖，又由发明电子显微镜的德国科学家 Ruska 教授，以及发现扫描隧道显微镜的两位科学家所分享。与此同时，电子显微术也逐渐形成了一门独立的学科——一门与物理、化学、生物、地质、材料等各领域相互交叉的交叉学科，我们称之为电子显微学。

电子显微学的形成有其历史的发展过程，让我们简要回顾一下，透射电子显微学的发展历史。

1. 电子显微学发展简史

人们要认识微观的物质世界，最早用肉眼观察，然而大受限制。

为扩展肉眼观察，借助于仪而向两个方面发展。

宏观、宏观 → 望远镜 1608年，J. 列伯吉塞伊，1609年，伽利略

微观 → 显微镜 1590年，J. 楠斯普兄弟，1866年，阿贝尔原理

阿贝尔原理指出，最将光学显微镜的分辨率d = $\lambda/2$

光波长为 $400 \sim 700 \text{ nm}$ ，光学显微镜的极限分辨率 $d = 200 \text{ nm}$.

电磁波发现后，固甚感意欲。人们自然想到用电子波代替光波做显微镜。

100KV	0.037 \AA	理想分辨率	$d = 0.019 \text{ \AA}$
-------	---------------------	-------	-------------------------

200KV	0.0251 \AA	"	$d = 0.01255 \text{ \AA}$
-------	----------------------	---	---------------------------

400KV	0.0164 \AA	"	$d = 0.0087 \text{ \AA}$
-------	----------------------	---	--------------------------

1000KV	0.0087 \AA	"	$d = 0.00435 \text{ \AA}$
--------	----------------------	---	---------------------------

1932年，经俄国一位博士研究生 E. Ruska 与基恩成功研制了世界上第一台实用电子显微镜。 $d = 500 \text{ \AA}$ ，开创了电子显微学的新纪元。

TEM问世以来，大致经历了三个重要阶段

1. 50年代 ~ 70年代

英国剑桥学者 Hirsch, Howie, Whelan)

比利时 Amelinckx 学派

→ 理论基础的确立和
完善

一个重要的贡献是：位错像的直接观察证实在位错理论的正确性

2. 70年代—90年代

高分辨率(相位衬度)理论的建立和完善

代表人物是 J.M. Cowley

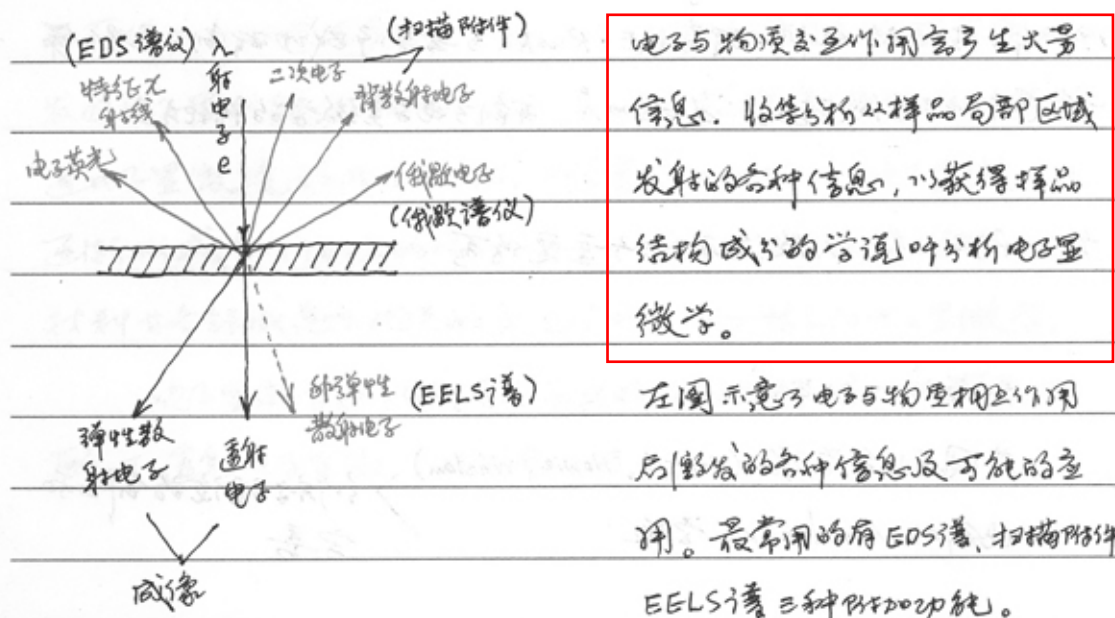
品格点阵像、品格结构像、以及单层像等打开了直接观察质子轰击的大门。

高分辨率可直接观察各种缺陷、位错、表面重构、化学反应、催化作用……对各种物理化学现象和微观结构特征。随着纳米材料研究的兴起，高分辨率电子显微技术的作用更加凸显。

同时，HRTEM 的成像理论和像差校正技术已十分成熟，广泛应用于材料、地质、催化、生物考古等领域。

3. 80年代以后

分析电子显微学的逐步形成和迅速发展



§2 分析型 TEM 电镜的结构

电源系统: 提供高能电子，保证相干性
(W, LaB₆, 场发射枪)

电子光学系统
(镜筒部分)
透镜部分
(TEM)

成像部分: 电子与物质相互作用后携带信息，检测物并成像，并高放大倍数

观察部分: 摆夏观察，记录信息
照相
录像
CCD相机

1). 使电子在镜筒中重叠操作无干扰

2). 减小样品污染

3). 提高灯丝寿命

1) 提供各道主光路电流、电压

2) 保持电流电压的稳定及大小改变

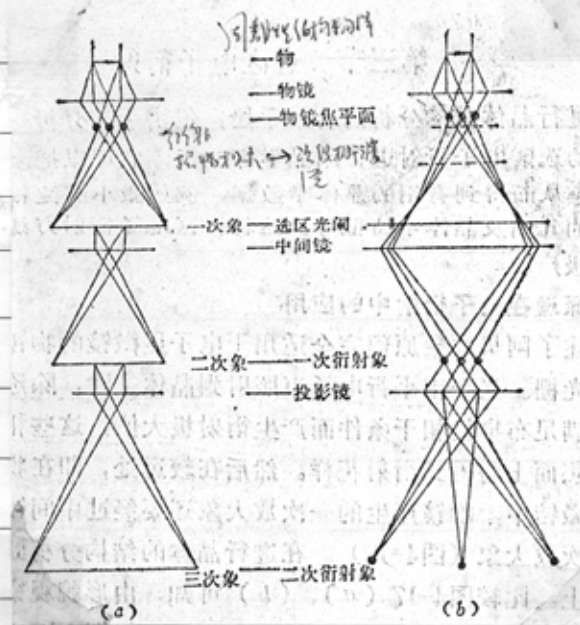
3) 各种操作模式的变换

4) 自动保护装置

- 附件
- 1) 扫描(SEM)和透射扫描(STEM)附件,
 - 2) 元素线扫描(EDS)仪, 微区成分分析 B^5 以上
 - 3) 电子能量损失谱(EELS)仪, 轻元素成分分析
 - 4) 能量过滤系统, 包含 EELS.
并能改善成像质量.

§3 TEM 成像原理和工作模式

1. 成像原理，弯曲四图示意



(a) 圆柱电场里微图像

的成像光路图。

(b) 圆柱电场里微花样

的成像光路图。

整个成像过程符合 Abbe
成像原理。

- 一束平行电子束入射到具有周期性结构的物样时，会产生衍射现象

- 强物镜聚焦，在其后焦面上形成衍射极大值。

- 衍射极大值可视为准相干波源，由它们发出的次级波在像屏面上相干成像。
- 在此过程中，像平面上的像往复经中间镜组、投影镜组再从而直接投射到荧光屏上，称为物的三次放大。
- 改变中间镜(组)电流，即改变中间镜焦距，使中间镜物平面移到物镜后焦平面，便可在荧光屏上看到像变换或衍射干涉图样

像和衍射图样相互变换的过程不仅清楚地阐明了衍射成像的原理，而且将二者结合起来大有助于物样的结构分析，扩展了成像的应用范围。

2. 工作模式

1) 选区电子衍射：为分析某一微小物相，或物相中某一部分
(SAED) 区域的结构，选择视场光栏盖住物镜像平面中的选定区域，这样获得的电子衍射

衍射图像

衍射区电子衍射。(若物镜放大100倍，则光栏可

(ED)

此选择视场大100倍，支柱易加2)

2) 纳米束电子衍射：是指有分辨率选择来自物相中纳米尺度区域。
(NBED) 通过电子束直接在物相上，不用视场光栏，
衍射斑点通常形成小圆盘。

3) 全想束电子衍射：以具有足够会聚角的电子束投射到试样上，
其束束率和衍射束分别形成圆盘，盘内有一强度分布，可提供试样三维结构信息。

1) 质厚衬度像：试样中各部位对电子的散射能力不同，
依靠电子分布不同而引起的像的衬度差异。

电离室
微图像

2) 衍射衬度像：操作试样中不同部位满足 Bragg 条件的程度不同而引起的衬度。

3) 相位衬度像：具有周期结构的晶格，可视为一个光栅，
(高分辨像) 电子轰击试样后，只有相位变化，而不考虑能

量改变，由直射波和衍射波互相抑制而引起相衬度。

相位衬度像又称高分辨像，可直接观察到晶体的晶格条纹，二维
点阵，甚至单胞中离子的位置。

第二章 电子衍射

本章讲述在TEM中，电子衍射场的产生及其特点，种类及应用。

- 三个问题
- 1) 电子衍射是如何形成的？为什么它反映了晶体（结构）特征？
 - 2) 不同结果的晶体，其电子衍射有何特点？如何描述？
 - 3) 如何应用电子衍射来探知晶体（结构），特别是未知结构。

§1. 例易矩阵

例易矩阵是从晶体衍射这一客观物理现象推导出来的规律。

它是衍射波的方位和强度在空间的分布。下面将简要地，例空间的例易矩阵与正空间相应的晶面族相对应。一般通过如下的定义将例空间与正空间联系起来。

1. 定义：设 $\vec{a}, \vec{b}, \vec{c}$ 为正空间单胞的三个初基矢量

$\vec{a}^*, \vec{b}^*, \vec{c}^*$ 为例空间的三个初基矢量

它们的关系如下：

$$\vec{a}^* \cdot \vec{a} = \vec{b}^* \cdot \vec{b} = \vec{c}^* \cdot \vec{c} = 1 \quad (a)$$

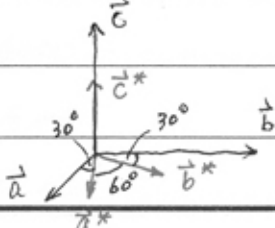
$$\vec{a}^* \cdot \vec{b} = \vec{b}^* \cdot \vec{c} = \vec{c}^* \cdot \vec{a} = \vec{a}^* \cdot \vec{c} = \vec{b}^* \cdot \vec{a} = \vec{c}^* \cdot \vec{b} = 0 \quad (b)$$

关系式(a)决定例易基矢的强度。

关系式(b)决定例易基矢的方向。

注意：主方、次方、正空间的三个正空间基矢垂直，例空间基矢也垂直。

六方、三方、单斜和三斜……“”“”不垂直，例空间基矢也不垂直。



左图展示了六方晶格正空间

与例空间基矢的相互关系。

$$\vec{a}^* \cdot \vec{b} = 0, \quad \vec{b}^* \cdot \vec{a} = 0$$

一般地，正空间一矢量如下表示：

$$\vec{r}[uvw] = u\vec{a} + v\vec{b} + w\vec{c} \quad (u, v, w \text{ 为整数})$$

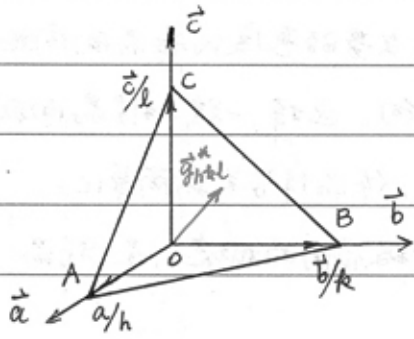
倒空间中某一直角坐标 \vec{g}_{hkl} 可由倒易基矢表示如下：

$$\vec{g}_{hkl}^* = h\vec{a}^* + k\vec{b}^* + l\vec{c}^* \quad (h, k, l \text{ 为整数})$$

2 性质：倒易坐标 \vec{g}_{hkl} 垂直于对应的正空间基准 (hkl) 平面。

$$且倒易矢量度 $|\vec{g}_{hkl}| = 1/d_{hkl}$$$

d_{hkl} 是由 hkl 三指数决定的晶面间距



记：平面 ABC 的指数是 (hkl) ，

按晶体学定义， (hkl) 与三个轴的间距分别为 a/h , b/k 和 c/l ,

$$(h) \quad \vec{AB} = \vec{b}/k - \vec{a}/h$$

于是有

$$\begin{aligned} \vec{AB} \cdot \vec{g}_{hkl}^* &= (\vec{b}/k - \vec{a}/h) (h\vec{a}^* + k\vec{b}^* + l\vec{c}^*) \\ &= k/k - h/h = 0 \end{aligned}$$

$$\therefore \vec{AB} \perp \vec{g}_{hkl}^*$$

同理有： $\vec{BC} \perp \vec{g}_{hkl}^*$, $\vec{CA} \perp \vec{g}_{hkl}^*$

$\therefore \vec{g}_{hkl}^* \perp (hkl) \text{ 平面}$

在 \vec{g}_{hkl}^* 上作单位矢量 \vec{n} , 则 $\vec{n} = \vec{g}_{hkl}^*/|\vec{g}_{hkl}^*|$

$$\begin{aligned} (h) \quad d_{hkl} &= \vec{OA} \cdot \vec{n} \\ &= \vec{a}/h \cdot (h\vec{a}^* + k\vec{b}^* + l\vec{c}^*)/|\vec{g}_{hkl}^*| = 1/|\vec{g}_{hkl}^*| \end{aligned}$$

$$\therefore |\vec{g}_{hkl}^*| = 1/d_{hkl}$$

3. 讨论

1) 正、倒空间互连，即正互连的倒易是倒互连矩阵，倒互连矩阵的倒易是正互连。这从意义上便可看出。

2) 正空间(hkl)层面与倒空间互连量 \vec{h}^* 互为正交，且 $[\vec{h}^*] = \frac{1}{d_{hkl}}$ ，倒空间(uvw)层面与正空间互连量 $[uvw]$ 互为正交。

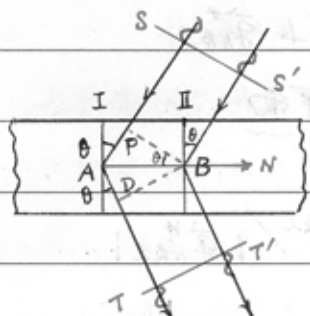
3) 倒易互连量 \vec{h}^* 表示了一个晶面族。

正空间晶面(hkl)可用 \vec{h}^* 及其端点(倒易互连量)来表示。同理，倒易互连量或倒易互连是一种晶体学表达方式。其优点是用一个矢量或一个点来代表一个一族晶面。矢量的长度代表晶面间距的倒数，矢量的方向代表晶面法线的方向。这样，一族二维晶面就可以用一个一维的矢量或0维的点来表示，使晶体学关系简单化。

倒易互连量研究衍射向量的一种极简明的概念，是分析晶体互连类型和结构的根据。

§2. X射线对电子的研究

1. Bragg 定律



如图，设光强度以0角入射于晶面，则

两束波在SS'处传播相同，进入晶体后被晶面I和II面(hkl)所反射，其反射角也为0。若反射波到达TT'处时，两束波的波程差为

$$\delta = PA + AD = 2ABS\sin\theta = 2d_{hkl}\sin\theta$$

根据光干涉原理，各晶面散射波干涉加强的条件是，波程差 δ 为波长整数倍，即

$$2d_{hkl}\sin\theta = n\lambda$$

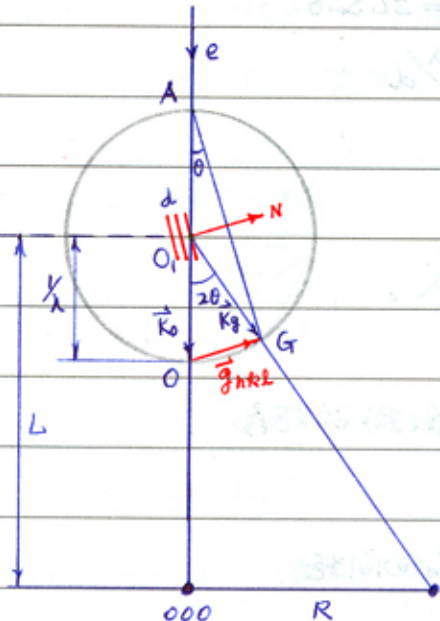
这就叫Bragg 定律，或称 Bragg 方程

布拉格(Bragg)定律非常简洁地阐述了晶体产生衍射的几何条件。它是分析电子衍射花样理论的基础。

2. 电子衍射几何的基本公式

$$\text{Bragg 定律可改写成: } 2 \frac{d_{hkl}}{n} \sin\theta = \lambda$$

这种形式很好, 晶面间距缩小了 n 倍, 换句话说, 晶面指数也加大 n 倍, $\vec{g}_{hkl} = (nh, nk, nl)$, 这是 (hkl) 的 n 级反射。



在分析电子衍射时通常不考虑晶面 (hkl) 的 n 级衍射。这时 Bragg 定律可

$$2d \sin\theta = \lambda$$

$$\text{或 } \sin\theta = \frac{(1/d)}{(2/\lambda)}$$

于是, 电子被摄入, 晶面间距 d 和衍射角 θ 可用一个直角三角形 AOG 表示如图

若以斜边 AO 中点 O_1 为圆心, $1/d$ 为半径,

作一个球, 则直角三角形 AOG 的三个顶点

都在这个球面上, 这个球称为反射球, 是 Ewald 于 1921 年提出的, 亦称 Ewald 球。

- 若以 AO 指入射电子束方向, 转移到 O_1 上的晶体上, 一部分反射回来, 其余与 (hkl) 面发生衍射, 在 O_1G 方向产生衍射束, 反射矢量 G 的端点 G 总落在反射球上。这就是 Bragg 定律晶体对电子衍射的几何解释。它很直观地显示了晶体产生衍射的几何关系。

- 根据几何学定理知道, 因 $OG = 1/d$, 且 $\vec{OG} \perp (hkl)$, 知 \vec{OG} 就是 (hkl) 的倒易矢量 \vec{g}_{hkl} , G 点就是倒易点。因此, 入射电子束在晶体中产生衍射的条件

可视为倒易点 G 是否落在 Ewald 球上。只要一个倒易点在 Ewald 球面上，则 Bragg 定律便成立，且有：

$$\vec{R}_g - \vec{R}_0 = \vec{g}_{hkl}$$

在上述情况下由延伸，正是电子显微镜中的情况。

注意，此时 θ 很大， L 很大而 R 很小，球形非常扁平，(可近似理解为平面)。于是有

$$R = L \tan 2\theta \approx L \sin 2\theta \approx 2L \sin \theta \\ = 2L \frac{(\lambda/d)}{(z/\lambda)} = L\lambda/d$$

即：
$$Rd = L\lambda$$

这就是电子衍射几何的基本公式。

其中，
 L 为相机长度

R 为衍射斑到中心透射斑的距离

λ 为波长

d 为产生衍射斑的晶面间距

$L\lambda$ 称为相机常数。

由于 L 是相机长度，在实验中可知， λ 为已知参数。

R 可测量，故晶面间距 d 可由基本公式计算。

此即衍射几何的基本公式是十分简明，但非常有用，是分析电子衍射图象、进而解析晶体结构最基础、最重要的公式。

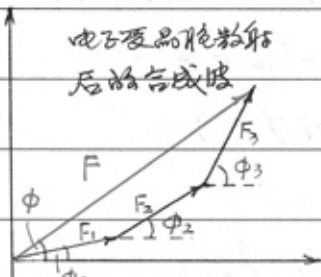
3. 结构因子

Bragg 定律只是从几何的角度讨论了晶体对电子的散射，而没有考虑反射面上的反射位置和反射强度。如果考虑到两个因素，满足 Bragg 条件並不一定产生衍射。例如面心立方 (f.c.c) 晶体 (100) 面一级衍射就不存在。这种情况称为系统消光。

为此，引入了结构因子的概念。

定义：结构因子 F 是单胞内各原子对入射波散射的合成振幅。

它标志着单胞对入射波强度的贡献。



电子遭受物质的一个晶胞若反射时，晶胞内各原子散射的幅度，各有不同相位相和振幅，合成波是通过各散射波的矢量相加而得，如图所示。

振幅位相图

设晶胞中有 n 个原子。

对电子散射的振幅分别为： $F_1, F_2, F_3 \dots \dots F_n$

各散射波相对入射波的位相为： $\phi_1, \phi_2, \phi_3 \dots \dots \phi_n$

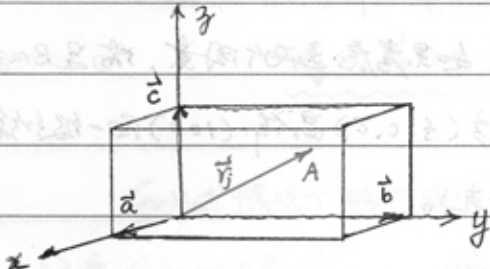
则合成波的振幅为：

$$F = F_1 e^{i\phi_1} + F_2 e^{i\phi_2} + \dots \dots + F_n e^{i\phi_n} = \sum_{j=1}^n F_j e^{i\phi_j}$$

下面，关键在于找出各原子所散射的相位的位相 ϕ_j 。

设 \vec{r}_j ($\times 4 \times 3$) 表示单胞内第 j 个原子的位置，则

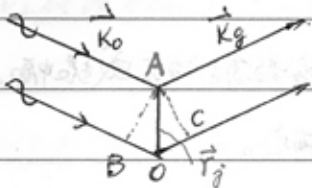
$$\vec{r}_j = x_j \vec{a} + y_j \vec{b} + z_j \vec{c}$$



而反波数射在 \vec{k}_q 方向的波程差为：

$$\delta = \vec{BO} + \vec{OC}$$

$$= -\vec{K}_0 \cdot \vec{r}_j + \vec{K}_q \cdot \vec{r}_j \\ = (\vec{K}_q - \vec{K}_0) \cdot \vec{r}_j$$



于是，两反波数射波程在 \vec{K}_q 方向的位相差为：

$$\phi = 2\pi\delta = 2\pi(\vec{K}_q - \vec{K}_0) \cdot \vec{r}_j$$

而产生衍射的必要条件是：

$$\vec{R}_q - \vec{K}_0 = \vec{\delta}$$

$$\therefore F = \sum_{j=1}^n f_j e^{i\phi_j} = \sum_{j=1}^n f_j \exp(2\pi i \vec{q} \cdot \vec{r}_j)$$

$$\text{或 } F = \sum_{j=1}^n f_j \exp 2\pi i (hx_j + ky_j + lz_j)$$

上式表示一个单胞中所有原子对电子散射的贡献，故 F 称为

结构因子，其平方 (F^2) 具有强度意义。

F 越大，衍射强度越大； $F = 0$ ，表示该衍射将不出现。

下面讨论不同类型晶体互阵的结构因子

1) $f \cdot c \cdot c$ 互阵

单胞中有 4 个铜原子，坐标分别为 $(000), (\frac{1}{2}\frac{1}{2}0), (\frac{1}{2}0\frac{1}{2}), (0\frac{1}{2}\frac{1}{2})$

$$\text{则 } F_{hkl} = f [1 + \exp \pi i (h+k) + \exp \pi i (h+l) + \exp \pi i (k+l)]$$

当 h, k, l 为全奇或全偶数时, $(h+k), (k+l), (l+h)$ 均为偶数, 此时,

$$\begin{cases} F_{h+k+l} = f(1+1+1+1) = 4f \\ F_{h+k+l}^2 = 16f \end{cases}$$

当 h, k, l 中有两个偶数或两个奇数时, $(h+k), (k+l), (l+h)$ 中仅有两
项为奇数, 一项为偶数, 此时

$$\begin{cases} F_{h+k+l} = f(1-1+1-1) = 0 \\ F_{h+k+l}^2 = 0 \end{cases}$$

可见, 只有当 h, k, l 为全奇或全偶, 才能产生衍射。否则, 衍射强度
极弱, 强度为0。这种情况称为系统消光。

这就告诉我们, 衍射存在的条件不仅取决于 Bragg 反射, 还必
须取消干涉胞中各质点的位置和幅度。也就是说, Bragg 条件仅是
衍射存在的必要条件, 而非充要条件。

例如, F.c.c 晶体中, $(100), (110), (210), (211) \dots$ 等衍射
均不可见。

系统消光问题对成像和分析非常重要的。

2) b.c.c 互强

单胞中有两个相同质子, 坐标为 $(000), (\frac{1}{2}, \frac{1}{2}, \frac{1}{2})$

$$F_{h+k+l} = f[1 + \exp \pi i(h+k+l)]$$

当 $h+k+l =$ 偶数时, $F_{h+k+l} = f(1+1) = 2f$ 产生衍射

当 $h+k+l =$ 奇数时, $F_{h+k+l} = f(1-1) = 0$ 系统消光

如, $(110), (200), (220) \dots$ 等衍射存在

$(100), (210), (300) \dots$ 等 " 不存在

3) 六角密堆矩阵

单胞中有两个相同原子，坐标为 (000) , $(\frac{1}{3}, \frac{2}{3}, \frac{1}{2})$

$$F_{h+k+l} = f \left\{ 1 + \exp 2\pi i \left(\frac{h+2k}{3} + \frac{l}{2} \right) \right\}$$

讨论可知：

若 $\begin{cases} h+2k=3n \\ l=2n+1 \end{cases}$ 则 $F_{h+k+l}=0$ 系统消光

可见，六角密堆矩阵中不存在 (001) , (003) , $(1\bar{2}1)$, (111) ……等衍射

其它情况下， $F_{h+k+l} \neq 0$ ，产生衍射。

4) 金刚石型矩阵

单胞中有8个原子，坐标为：

$$(000), (\frac{1}{4}, \frac{1}{4}, \frac{1}{4}), (\frac{1}{2}, \frac{1}{2}, 0), (\frac{1}{4}, \frac{3}{4}, \frac{3}{4})$$

$$(\frac{1}{2}, 0, \frac{1}{2}), (\frac{3}{4}, \frac{1}{4}, \frac{3}{4}), (0, \frac{1}{2}, \frac{1}{2}), (\frac{3}{4}, \frac{3}{4}, \frac{1}{4})$$

$$F_{h+k+l} = F_f [1 + \exp \frac{\pi i}{2} (h+k+l)]$$

其中， F_f 是面心立方(f.c.c)矩阵的结构因子

系统消光情况如下：

$\left\{ \begin{array}{l} h+k+l 中有两个偶数或两个奇数时, F_f=0 \rightarrow F_{h+k+l}=0, 无衍射 \\ h+k+l 全为偶数, 但 h+k+l \neq 4n, 而且 h+k+l=2(2n+1) 时 \end{array} \right.$

$$F_{h+k+l}=0 \quad \text{不产生衍射}$$

如： (200) , (600) 不存在。

4. 干涉函数和倒易阵点的形状

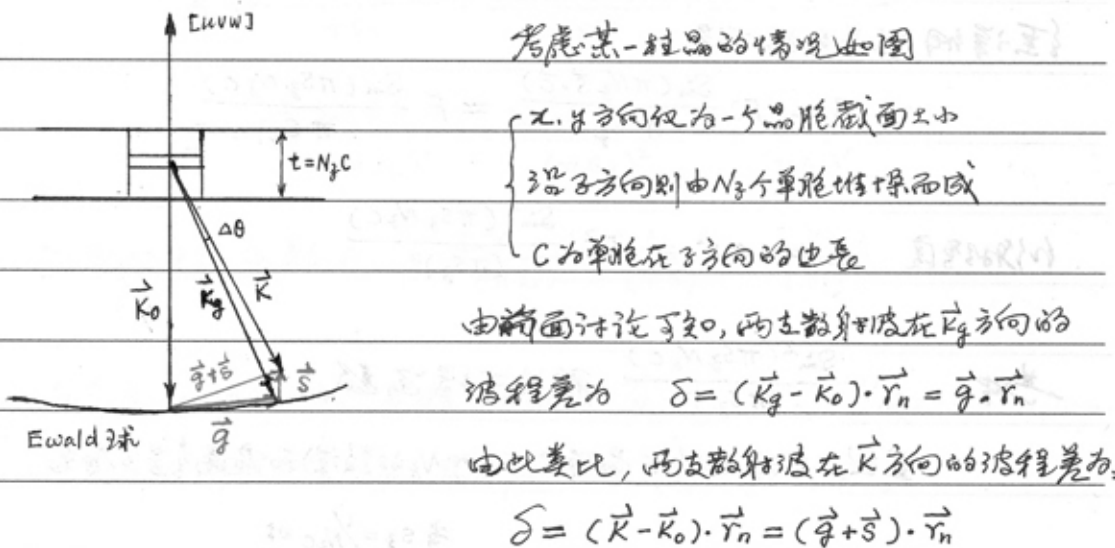
前面所讨论的衍射向量，都是基于满足 Bragg 条件的情况。

偏离 Bragg 条件，衍射强度为 0。

但这一结论只适用于完整且对称的晶体。

实际晶体大小有限，且内部存在各种缺陷。这时，衍射束的强度分布有一个高宽度，相应的倒易阵点也有一一定的大小和几何形状，这样将使产生电子衍射的可纯性增大了。

以下将讨论这一问题。



其中， S 为偏移量， R_n 是第 n 个单胞的位矢。

$$\vec{R}_n = u \vec{a} + v \vec{b} + w \vec{c}$$

于是，拉晶内所有单胞的合成振幅是：

$$A = \sum_{n=1}^{N_3} F_n \exp[i2\pi(\vec{g} + \vec{S}) \cdot \vec{R}_n]$$

其中， F_n 是第 n 个单胞对电子的散射振幅。

当满足 Bragg 条件时， $\vec{S} = 0$ 。

F_n 都相同

$$A = \sum_{n=1}^{N_3} F_n \exp[i2\pi \vec{g} \cdot \vec{R}_n] = \sum_{n=1}^{N_3} F_n \exp[i2\pi(hu + kv + lw)] = N_3 F$$

整数

这意味着，拉晶对入射波的总散射振幅为各单胞对入射波的散射振幅之和。

因为所有单胞都具有相同位相。

当衍射方向偏离 Bragg 条件时，位相差

$$\phi = 2\pi(\vec{g} + \vec{s}) \cdot \vec{r}_n = 2\pi N + 2\pi \vec{s} \cdot \vec{r}_n$$

$$A = \sum_{n=1}^{N_3} F_n \exp[i2\pi(N + \vec{s} \cdot \vec{r}_n)]$$

$$= \sum_{n=1}^{N_3} F_n \exp[i2\pi \vec{s} \cdot \vec{r}_n]$$

$$= \sum_{n=1}^{N_3} F_n \exp[i2\pi n \vec{s} \cdot \vec{c}] \quad (\vec{s} \cdot \vec{z} = 0, \vec{s} \cdot \vec{y} = 0)$$

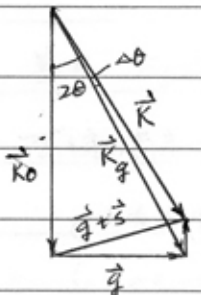
经详细推导可得

$$A = F \frac{\sin(\pi N_3 \vec{s} \cdot \vec{c})}{\pi s_3} = F \frac{\sin(\pi s_3 N_3 c)}{\pi s_3}$$

$$\text{衍射强度 } I = |A|^2 = F^2 \frac{\sin^2(\pi s_3 N_3 c)}{(\pi s_3)^2}$$

其中： $\frac{\sin^2(\pi s_3 N_3 c)}{(\pi s_3)^2}$ 称为干涉函数

显然，干涉函数与样品尺寸（即 N_3 的数值）和偏离参数 \vec{s} 有关。



$$\text{当 } s_3 = 1/N_3 c \text{ 时}$$

$$\frac{\sin^2(\pi s_3 N_3 c)}{(\pi s_3)^2} = 0$$

$$\text{当 } s_3 = 0 \text{ 时}$$

$$\frac{\sin^2(\pi s_3 N_3 c)}{(\pi s_3)^2} = N_3^2, \text{ 极大值}$$

从干涉函数随 s 的变化可见，
倒易阵在直（衍射直）不再呈 $s=0$ 处

干涉函数的分布

的一个数学上极点，而是拉莫尔

$(1/N_3 c)$ 的一个倒易杆。

$(N_3 c)$ 是拉莫尔厚度

由此可知结论：

晶格越密， N_{zc} 越大，倒易杆越稠密，与反射球相截的可能性越大，得到单晶衍射强度的可能就越大。

以上讨论是一个理想状态的情况，即 x, y 方向均假为一个单胞截面大，而在实际晶体中，沿 x, y, z 方向分别是 N_x , N_y 和 N_z 个单胞堆叠而成。此时晶格的倒易球半径应为：

$$A = F \frac{\sin \pi s_x N_x a}{\pi s_x} \cdot \frac{\sin \pi s_y N_y b}{\pi s_y} \cdot \frac{\sin \pi s_z N_z c}{\pi s_z}$$

$$I = F^2 \frac{\sin^2(\text{"})}{(\pi s_x)^2} \cdot \frac{\sin^2(\text{"})}{(\pi s_y)^2} \cdot \frac{\sin^2(\text{"})}{(\pi s_z)^2}$$

倒易球的干涉函数为： $\frac{\sin^2(\text{"})}{(\pi s_x)^2} \cdot \frac{\sin^2(\text{"})}{(\pi s_y)^2} \cdot \frac{\sin^2(\text{"})}{(\pi s_z)^2}$

倒易至三个轴向的展宽程度分别记为 ${}^2/N_x a$, ${}^2/N_y b$, ${}^2/N_z c$

只有当晶体是无穷大时，其倒易阵点才是一个数学点。

晶体形状对倒易强度的影响

圆盘

立方

杆状

球状

晶体



倒易点



杆状

三维粒状

圆盘

球状

§3. 倒易互阵平面及其绘制

前面已提到，电子衍射花样，就是晶体内部的互阵与反射场的相位而在荣光屏上的投影。因此，单晶的电子衍射花样，实际上是一个三维倒易互阵平面的放大。衍射斑的量与倒易互阵面的配置是完全相同的。为能更清楚地分析电子衍射花样，必须掌握二维倒易互阵平面的性质及其绘制。

1. 品带定律

1) 品带：一组晶面的组合，这些晶面都平行于某一晶轴。

如立方晶系中： (010) , (110) , $(1\bar{1}0)$, $(0\bar{1}0)$, $(\bar{1}\bar{1}0)$, ...

等晶面，都平行于 $[001]$ 晶轴，组成一个品带

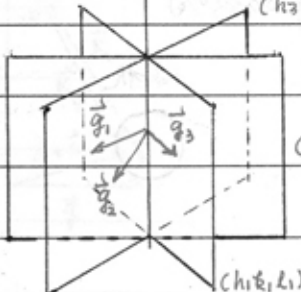
2) 品带轴：表示品带方向的一根直线，它平行于该品带中所有晶面，如上例中的 $[001]$ ，该直线是一个品带带方向 $[uvw]$

3) 品带定律

$\vec{r} \uparrow [uvw]$

任一属于 $\vec{r}[uvw]$ 品带的晶面 (hkl)

正空间



ABC角

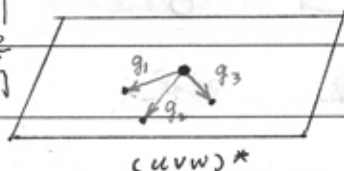
$$hu + kv + lw = 0$$

注：品带轴是一个正常向量

$$\vec{r} = u\vec{a} + v\vec{b} + l\vec{c}$$

品带中任一晶面 (hkl) 可用斜向量

倒空间



坐标表示：

$$\vec{g} = h\vec{a}^* + k\vec{b}^* + l\vec{c}^*$$

$\vec{g} \perp (h\vec{a} + k\vec{b} + l\vec{c})$ (例易互阵的性质)

$\therefore \vec{g} \cdot \vec{r} = 0$

故 $(h\vec{a}^* + k\vec{b}^* + l\vec{c}^*) (u\vec{a} + v\vec{b} + w\vec{c}) = 0$

即 $hu + kv + lw = 0$

可见：晶带中的所有晶面都平行于晶带轴方向，它们的侧面是垂直于晶带轴，其端面构成一个与晶带轴方向正交的二维例易互阵平面 $(uvw)^*$ 如图所示。

晶带定律在电子衍射分析中很重要。

如：已知电子衍射中的两个晶带指数组 $(h_1 k_1 l_1), (h_2 k_2 l_2)$

根据晶带定律有： $\begin{cases} h_1 u + k_1 v + l_1 w = 0 \\ h_2 u + k_2 v + l_2 w = 0 \end{cases}$

可得： $u = v = w = \begin{vmatrix} h_1 & k_1 & l_1 \\ h_2 & k_2 & l_2 \end{vmatrix} = \begin{vmatrix} l_1 & h_1 \\ l_2 & h_2 \end{vmatrix} = \frac{h_1 k_1 - h_2 k_2}{l_1 l_2}$

EP: $\begin{cases} u = k_1 l_2 - l_1 k_2 \\ v = l_1 h_2 - h_1 l_2 \\ w = h_1 k_2 - k_1 h_2 \end{cases}$

这是在衍射谱中两个晶带指数组的情况下，求得晶带轴的表示方式，适用于任何晶系。

同理，由晶带定律可求出同属于两个晶带 $[u_1 v_1 w_1], [u_2 v_2 w_2]$ 的

晶面 (hkl)

$h = k = l = \begin{vmatrix} v_1 w_1 \\ v_2 w_2 \end{vmatrix} = \begin{vmatrix} w_1 & u_1 \\ w_2 & u_2 \end{vmatrix} = \begin{vmatrix} u_1 & v_1 \\ u_2 & v_2 \end{vmatrix}$

EP $\begin{cases} h = v_1 w_2 - v_2 w_1 \\ k = w_1 u_2 - w_2 u_1 \\ l = u_1 v_2 - u_2 v_1 \end{cases}$

2. 二维晶体场点阵平面的绘制

下面介绍在晶格结构已知的情况下，画出 $(uvw)^*$ 例易点阵平面的基座步骤。

例：绘制面心立方 (f.c.c) 晶体的 $[3\bar{2}1]^*$ 例易点阵平面

解：1) 利用莫耳定律，用试错法找到一个例易平面上 $(h_1 k_1 l_1)$
在其中，可找到 $(h_1 k_1 l_1) = (1\bar{1}\bar{1})$

$$\therefore h_1 u + k_1 v + l_1 w = 3 - 2 - 1 = 0 \quad \text{满足莫耳定律}$$

注意：a) f.c.c 点阵的衍射指数组合为全奇全偶

b) 试错的衍射指数组合或低或将

2) 找另一例易平面上 $(h_2 k_2 l_2)$ ，使

$$\vec{g}_{h_1 k_1 l_1} \perp \vec{g}_{h_2 k_2 l_2} \quad \text{且, } \vec{g}_{h_2 k_2 l_2} \perp [3\bar{2}1]$$

$$\begin{aligned} \text{于是有: } & \left\{ \begin{array}{l} h_2 - k_2 - l_2 = 0 \\ 3h_2 + 2k_2 + l_2 = 0 \end{array} \right. \end{aligned}$$

$$\text{解得: } h_2 = k_2 = l_2 = 1 : \bar{4} = 5.$$

但在 f.c.c 点阵中， $(1\bar{4}5)$ 是禁止的（系统消失）的点。

$$\text{故 } (h_2 k_2 l_2) = (2\bar{8}10)$$

3). 求出两个面上 $(h_1 k_1 l_1)$ 和 $(h_2 k_2 l_2)$ 的例易空量比。

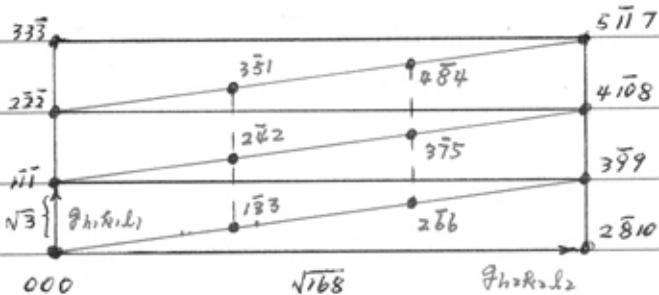
$$\text{根据例易空量和面间距公式: } d = a / \sqrt{h^2 + k^2 + l^2}$$

$$\begin{aligned} \text{则 } g_{h_1 k_1 l_1} : g_{h_2 k_2 l_2} &= d_1 : d_2 \\ &= \sqrt{h_1^2 + k_1^2 + l_1^2} : \sqrt{h_2^2 + k_2^2 + l_2^2} \\ &= \sqrt{1+1+1} : \sqrt{4+64+100} = \sqrt{3} : \sqrt{168} \end{aligned}$$

4) 以 $g_{h_1 k_1 l_1}$, $g_{h_2 k_2 l_2}$ 为直角三角形的两条直角边，其端点分别为 $(1\bar{1}\bar{1})$ 和 $(2\bar{8}10)$ ，由此构成一正方形。根据类比造加原理得图如后。

墨丝，(3\bar{9})不是一级反射，必须加上(1\bar{3}3)和(2\bar{6}6)倒易面，重

复基矢单位就得到(321)*倒易面的平面。



而心立方 (321)* 倒易平面

注意： g_{h_1, k_1, l_1} 和 g_{h_2, k_2, l_2} 的取向，看清楚。

$$\begin{vmatrix} \vec{i} & \vec{j} & \vec{k} \\ 2 & 8 & 10 \\ 1 & 1 & 1 \end{vmatrix} = 18\vec{i} + 12\vec{j} + 6\vec{k} \rightarrow [321]$$

推导还有简单办法：

1). 用试错法找到两个低指数倒易面互垂直满足条件。

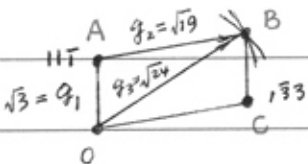
$$g_1 = (111) \quad g_2 = (1\bar{3}3)$$

2). \vec{g}_1, \vec{g}_2 叉乘和得倒易面的倒易面

$$\vec{g}_3 = \vec{g}_1 + \vec{g}_2 \rightarrow (2\bar{4}\alpha)$$

3) 三次量之比为： $g_1 : g_2 : g_3 = \sqrt{3} : \sqrt{19} : \sqrt{24}$

4). 作图：



以 A 为原点， g_2 为半径作圆弧

以 O 为原点， g_3 为半径作圆弧

两圆弧于 B 点，B 点指代为 (2\bar{4}2)

且 AB, AO 平行且于 C 点为 (1\bar{3}3)

这样构成基矢平行的四边形，加川对称性，便可获得 (321)* 倒易平面。

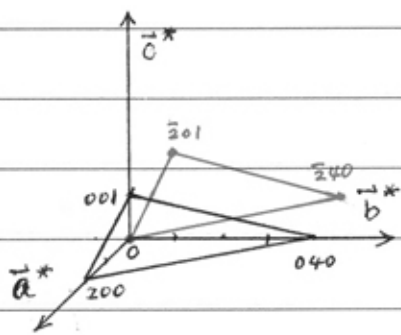
上述偏易互阵平面的画法仅适用于正交系统(立方、四方、正方晶系)

因为正交系统的三个基矢互相垂直，在例空间的三个例易基矢也相互垂直。对于六角、单斜、三方等晶系，正空间三个基矢不正交，例空间的三个基矢也不相互正交，则不能采用上述方法绘制偏易互阵平面，必须另寻途径。

现以一实例说明另一种普遍的方法。

例：试绘制六角密排晶系，当 $C/a = 1.633$ 时的 $(214)^*$ 偏易互阵平面。

根据晶体学定义， $(214)^*$ 在例空间三轴的截距是 $(\frac{1}{2}, 1, \frac{1}{4})$ 不整数。 $4 \times (\frac{1}{2}, 1, \frac{1}{4}) = (2, 4, 1)$



得到如图所示的一个截面。

三个垂直坐标是 200, 040, 001

将此截面平移至原点，只需将上述

坐标各加 200 即可，于是得到

三个坐标为：000, 240, 201

现在要作出由 000, 240, 201 三个

点组成的例易平面单元。

根据六角晶系晶面夹角余弦公式

$$\cos \varphi = \frac{h_1 h_2 + k_1 k_2 + \frac{1}{2} (h_1 k_2 + h_2 k_1) + \frac{3}{4} (\frac{C}{a})^2 l_1 l_2}{[h_1^2 + k_1^2 + \frac{3}{4} (\frac{C}{a})^2 l_1^2]^{1/2} [h_2^2 + k_2^2 + \frac{3}{4} (\frac{C}{a})^2 l_2^2]^{1/2}}$$

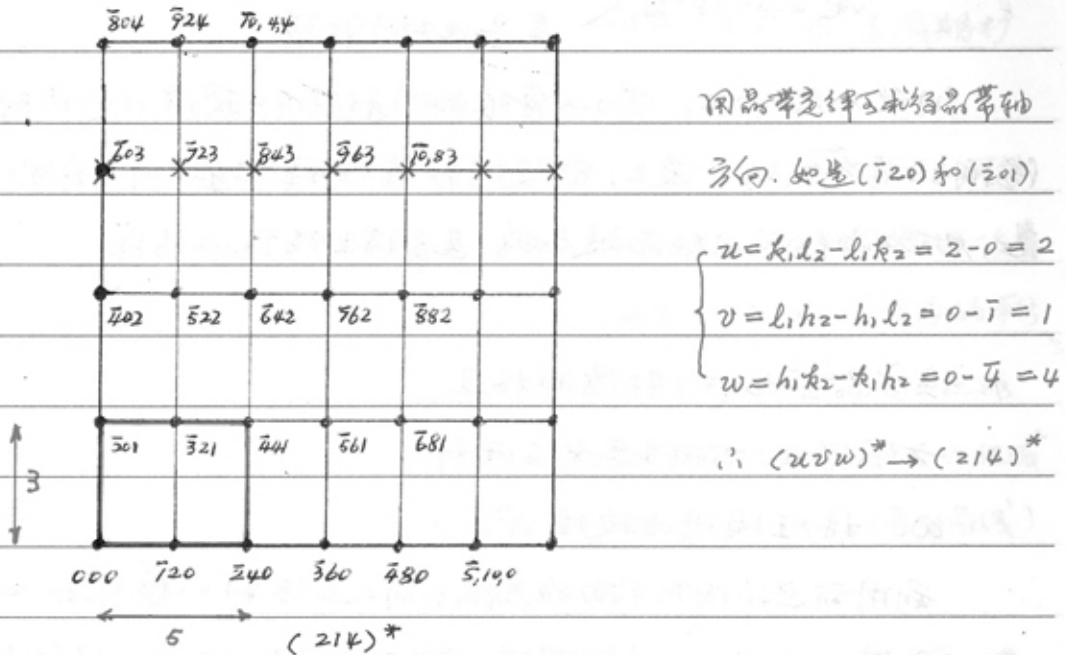
求得 $(\bar{2}40)$ 和 $(\bar{2}01)$ 之间的夹角为 90°

再根据六角晶系例易夹角度比公式

$$\frac{g_1}{g_2} = \left[\frac{4(\frac{C}{a})^2 (h_1^2 + h_1 k_1 + k_1^2) + 3l_1^2}{4(\frac{C}{a})^2 (h_2^2 + h_2 k_2 + k_2^2) + 3l_2^2} \right]^{\frac{1}{2}}$$

$$\text{计算出: } g_{\bar{z}40}/g_{\bar{z}01} = 5/3$$

可是, 可能有 (000), \bar{z}40, \bar{z}01 为顶点的基本单元, 并计算副晶平面如图.



根据二向晶带的消光条件 $\begin{cases} h+2k=3n \\ l=2n+1 \end{cases}$ 时 $F_{hkl}=0$

在 (000) 与 (\bar{z}40) 之间, 正应消在 (\bar{z}20), 相应地, 在 (\bar{z}01) 与 (\bar{z}41) 之间, 应消在 (\bar{z}21) 上,

可是, 战例易面最基单单元是 (000)-(\bar{z}20)-(\bar{z}21)-(\bar{z}01),
由此基单单元对称可得上图所示的 (214)* 例易面。

图中, 带“x”的反射, 是消光的基本反射, 衍射时不一定会出现改组。

《金制二维副晶平面》, 实际就是在做标准图谱。对于任意系, 只要 a, b, c 的比例已定, 给定一个晶带的方向, 便可以绘制与此方向正交的二维副晶平面。

§4. 电子衍射像的标定

单晶电子衍射像
多晶电子衍射像
电子衍射像

细致入微的分析，可以从前限的衍射图上获得材料内部结构的细微修改，反之，既使衍射像已经记录了许多相同信息，也可能由于分析粗糙而被忽略，甚至得出错误的结论。

1. 立方晶系电子衍射像的标定

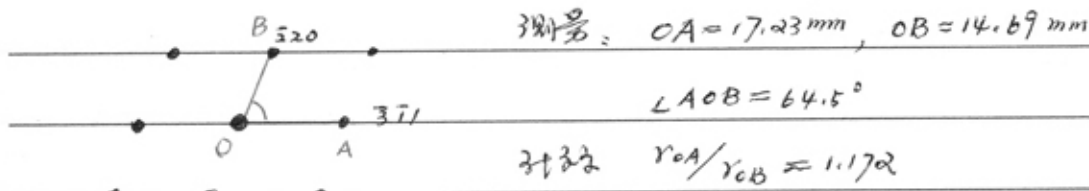
方法很多，下面主要介绍两种

a. 标准圆像法较简

利用前述的倒易平面的性质，前人已编制了三套圆心距、
半径等的标准电子衍射圆像，它包括了常见的较低指数倒易
面的标准圆。

标定衍射像时，只需测得两个低指数面到透射轴的
距离，计算 r_{200}/r_{111} ；同时测得它们之间的夹角大小。在标准圆像中
找出此值和夹角的相互指，据标准圆像上给出的参数进行标定。

例：如图，是立 f.c.c 晶体获得的电子衍射像，利用标准像
图进行标定



($r_{200}/r_{111} = 1.173, \varphi = 64.77^\circ$)，r比值和角度符合良好，故如图标定

b) 特殊平行四边形の边形法

特殊平行四边形の边形法の意义

- 單晶电子衍射解説, 可视分析

平行の边形 指一周期折

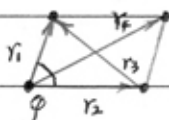
展而成

- 可找出各种面网相共存平行

的边形, 作为补角解説的第一基

本单元。定义如下性质的平行

的边形为半基底平行的边形



该平行的边形由最短的两个邻边r1, r2组成
 $r_1 \leq r_2 \leq r_3$ (短对角线) $\leq r_4$ (长对角线)
 $\varphi \leq 90^\circ$

这样规定的目的是使这种基本平行的边形上的节至主指数唯一确定。此定义有详细说明, 从现在开始。

多晶系的晶体学特征是三轴基矢正交且长度相等, 只有一个单胞常数a, 其他待定参数:

晶面间距: $d_{hkl} = a / \sqrt{h^2 + k^2 + l^2}$

晶面夹角: $\cos \varphi = \frac{h_1 h_2 + k_1 k_2 + l_1 l_2}{\sqrt{h_1^2 + k_1^2 + l_1^2} \sqrt{h_2^2 + k_2^2 + l_2^2}}$

设晶胞原点(000)到两个平行晶面($h_1 k_1 l_1$)及($h_2 k_2 l_2$)的距离

分别是 r_1 和 r_2 , 根据电场平行晶面的基本关系式 $d = L \lambda / r$ 有:

$$\frac{r_2}{r_1} = \frac{d_1}{d_2} = \frac{\sqrt{h_2^2 + k_2^2 + l_2^2}}{\sqrt{h_1^2 + k_1^2 + l_1^2}}$$

由此得 φ : r_2/r_1 与单胞常数无关, 只与相应的面指数(h 及 l)有关。

对于确定的($h_1 k_1 l_1$)和($h_2 k_2 l_2$), 便可计算 r_2/r_1 , 并唯一确定 φ . [uvw],

这样，可以建立一个相应的数表

r_2/r_1	θ	[uvw]	$h_1 k_1 l_1$	$h_2 k_2 l_2$
1.000	60°	111	220	202
1.000	90°	001	200	020
1.000	107.46°	139	220	062
1.000	109.47°	011	111	111
1.000	80.41°	135	422	242
1.000	84.78°	125	311	131
1.000				
1.000				
1.000				

\vec{r}_3 所对应的 223 指数 $(h_3 k_3 l_3) = (h_1 - h_2, k_1 - k_2, l_1 - l_2)$ 可得

指数正好有一种建立方法，因为 $\vec{r}_3 = \vec{r}_1 - \vec{r}_2$ ，~~这样就很容易得到~~。

于是可计算 r_2/r_1 , r_3/r_1 , 唯一确定 [uvw]

r_2/r_1	r_3/r_1	[uvw]	$h_1 k_1 l_1$	$h_2 k_2 l_2$
1.000	1.000	111	202	022
1.000	1.026	356	133	331
1.000	1.036	469	640	064
1.000				
1.000				
1.000				

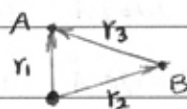
估算电子衍射强度的过程，恰好与制作数据表的过程相反

根据实验获得的电子衍射图谱，确定平行平行的边形，测量 r_1 、 r_2 和 r_3 ，计算 r_2/r_1 和 r_3/r_1 ，
查表，便可得到 $(h_1 k_1 l_1)$ ， $(h_2 k_2 l_2)$ 和 $[uvw]$ 。

例：试估算如图所示的基本 c.c.c. 晶体的电子衍射强度

测量得： $r_1 = 10.7 \text{ mm}$

$r_2 = r_3 \approx 17.66 \text{ mm}$



计算： $r_2/r_1 = r_3/r_1 = 1.650$

查表得：A: (300) B: (131)

[uvw] : [013]

2. d 值比较法估算电子衍射强度

d 值比较法是一种尝试方法。其估算过程可按下四步骤进行
a) 确定平行四边形要求，选择两个衍射斑点，使 r_1 和 r_2 为最短和次短距离，测量 r_1 ， r_2 及夹角 θ 值

b) 根据公式 $rd = \lambda$ ，求出 r_1 和 r_2 对应的面间距 d_1 和 d_2 。
将计算的 d 值与样品的 JCPDF (或 JCPDS) 数据比较，找出 d_1 和 d_2 相应的 $\{h_1 k_1 l_1\}$ 和 $\{h_2 k_2 l_2\}$ ，相对误差应好于 3%。

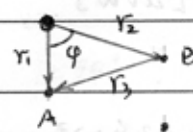
c) 在 $\{h_1 k_1 l_1\}$ 中，任选 $(h_1 k_1 l_1)$ 为 A 号指数。再从 $\{h_2 k_2 l_2\}$ 中，通过试错计算确定 B 号指数 $(h_2 k_2 l_2)$ ，使 $(h_1 k_1 l_1)$ 和 $(h_2 k_2 l_2)$ 斑点坐标值 ρ 相符。

d) 按余弦定理，求出其衍射斑点指数，且经易带值求出晶带指数 $[uvw]$ 。

例：标注如图的 b.c. c 及平行 α -Fe 的电极的衍射数据。

1) 块状纯平行的电极要求，选择 A, B。

$$\text{测得值: } r_1 = 9.9 \text{ mm}, r_2 = 17.2 \text{ mm}$$



$$\phi = 74^\circ$$

\Rightarrow 指径 $r_d = L\lambda$, 计算 d 值 ($L\lambda = 20.08 \text{ nm}\text{\AA}$)

与 JCPDF 数据比较, 找出合适的

$$r_1 \quad r_2 \quad r_3$$

$$d_{3\bar{1}1} \quad 2.028 \text{ \AA} \quad 1.167 \text{ \AA} \quad 1.167 \text{ \AA}$$

$$d_{\text{数据}} \quad 2.027 \text{ \AA} \quad 1.170 \text{ \AA} \quad 1.170 \text{ \AA}$$

$$\{111\} \quad \{110\} \quad \{112\} \quad \{112\}$$

$$1\bar{2}1 \quad 110 \quad B + 2\bar{1}\bar{1}$$

3) 标注一系指数组

$$(1\bar{1}3)^*, [1\bar{1}3]$$

从 $\{110\}$ 中, 取 110 作为 A 系指数组

则在 $\{112\}$ 中含一系指数组, 共 24 个, 即

$$112, 1\bar{1}\bar{2}, 1\bar{1}2, 1\bar{1}2; 121, 1\bar{2}\bar{1}, \bar{1}2\bar{1}, \bar{1}\bar{2}1;$$

$$211, 2\bar{1}\bar{1}, \bar{2}1\bar{1}, \bar{2}\bar{1}1; \bar{1}22, \bar{1}2\bar{2}, 1\bar{2}\bar{2}, 1\bar{1}2;$$

$$\bar{2}\bar{1}\bar{1}, \bar{2}11, 2\bar{1}1, 21\bar{1}; \bar{1}\bar{2}\bar{1}, 1\bar{2}1, \bar{1}21, 12\bar{1}$$

根据主次晶面夹角公式, 逐个计算上系指数组与 110 的夹角, 得结果,

角 $T2\bar{1}$, $2\bar{1}\bar{1}$, $T21$ 和 $2\bar{1}1$ 的个别指数组与 110 成 73.23° , 与测得值

74° 差值相存, 可取的指数组中任一指数组为 B 系指数组, 如取 $2\bar{1}\bar{1}$, 由复

量叠加原理, 标注圆所示。

4) 确定品带轴指数组 $[uvw]$

$$[uvw] = \vec{e}_1 \times \vec{e}_2 \rightarrow \begin{vmatrix} \vec{i} & \vec{j} & \vec{k} \\ 1 & 0 & 0 \\ 0 & 1 & 0 \end{vmatrix} = -\vec{i} + \vec{j} - 3\vec{k} \rightarrow [1\bar{1}3]$$

该衍射图为 α -Fe 的 $(1\bar{1}3)^*$ 衍射带平面

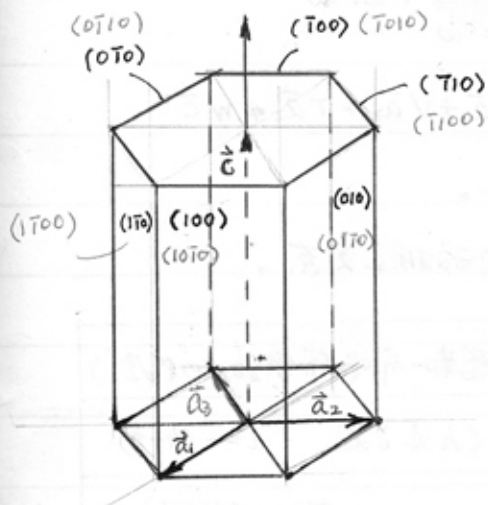
35 六步思考的密勒——吊脚葫芦指教

在晶体学中，晶面指数一般用 h、k、l 三个数表示。

品向(次向)指数据用 u,v,w 三个数表示

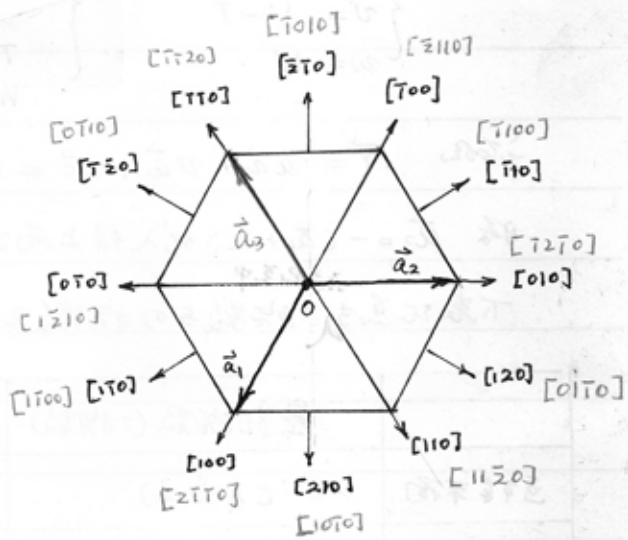
这称为“三棱数”，又名“魔力数”。

然而，若用三指函数来描述六角矩阵时，不能显示该六角矩阵的六次对称性。高阶学案同[14]的矩阵平面和矩阵方向有不同的密勒指数，如图所示。



(黑) 三指數描述的並陳平而指散

(32) ~~四四四四四四~~ 五五五五五五



六角形阵中互存方向指数组的
两种表示。黑三指数组、红四指数组

为了弥补这一缺点，在(001)基面上引入第三个轴 \vec{a}_3 ，它与 \vec{a}_1 、 \vec{a}_2 轴间的夹角都是 120° ，起着与 \vec{a}_1 、 \vec{a}_2 轴完全相同的作用。这样，三阵平面和三阵方向都有4个指数，分别记为 $(hkl;l)$ 和 $[UVTW]$ ，称为席勒—布喇格指数。

四指數中， \vec{h} 和 \vec{T} 都不是獨立，很容易証明：

$$\vec{h} + \vec{k} + \vec{i} = 0, \quad \text{則} \quad \vec{i} = -(\vec{h} + \vec{k})$$

$$\vec{U} + \vec{V} + \vec{T} = 0, \quad \text{則} \quad \vec{T} = -(\vec{U} + \vec{V})$$

總動——布喇蒼指數的優點，在于它能把三維平面和
互轉方向的六次對稱性顯示出來，如前圖所示。

注意：四指數中的 \vec{h} 和 \vec{l} 與三指數中的 \vec{h} 和 \vec{l} 相同

但 \vec{U} 、 \vec{V} 、 \vec{T} 與 \vec{U}' 、 \vec{V}' 、 \vec{T}' 不完全相同。

U 、 V 、 W 與 U' 、 V' 、 W' 的關係由如下公式相應而定：

$$\begin{cases} U = U - T \\ V = V - T \\ W = W \end{cases} \quad \begin{cases} U = \frac{1}{3}(2U - V) \\ V = \frac{1}{3}(2V - U) \\ T = -\frac{1}{3}(U + V) \\ W = W \end{cases}$$

$$\text{例題 2: } \because \vec{r} = u\vec{a}_1 + v\vec{a}_2 + w\vec{c} = U\vec{a}_1 + V\vec{a}_2 + T\vec{a}_3 + W\vec{c}$$

將 $\vec{a}_3 = -(\vec{a}_1 + \vec{a}_2)$ 代入上式後可得上兩組公式

下表は高さ3六方晶系中三指数组合の指数组合の相互関係

	密勒指数组合(三指数组)	密勒-布喇勃指数组合(四指数组)
点阵平面	$(h+k)$	$(h+ik) \quad i = -(h+k)$
		$T = -(U+V)$
点阵方向	$[uvw]$	$[UVTW] \begin{cases} U = \frac{1}{3}(2u-v) \\ V = \frac{1}{3}(2v-u) \\ T = -\frac{1}{3}(u+v) \\ W = w \end{cases}$
晶带定律	$hu + kv + lw = 0$	$hU + kV + iT + lW = 0$
点阵平面 的直线	$[2h+k, h+2k, \frac{3a^2}{2c^2}l]$	$[h+k, i \frac{3a^2}{2c^2}l]$
与点阵方向 正交的 点阵平面	$\left(\frac{1}{3}(2u-v), \frac{1}{3}(2v-u), \frac{2c^2}{3a^2}w\right)$	$(UVT \frac{2c^2}{3a^2}W)$

3.6 未知结构物的初步分析

未知结构物的电子衍射图谱不同于前述的情况。由于前人从来没有发表过这类晶体结构的类型和参数，无据可查，只能通过对比平行射线的分析，确立其晶体结构，进而确定其单胞参数，并推定其衍射图谱。

1. 利用平行射线的对称性进行初步判定

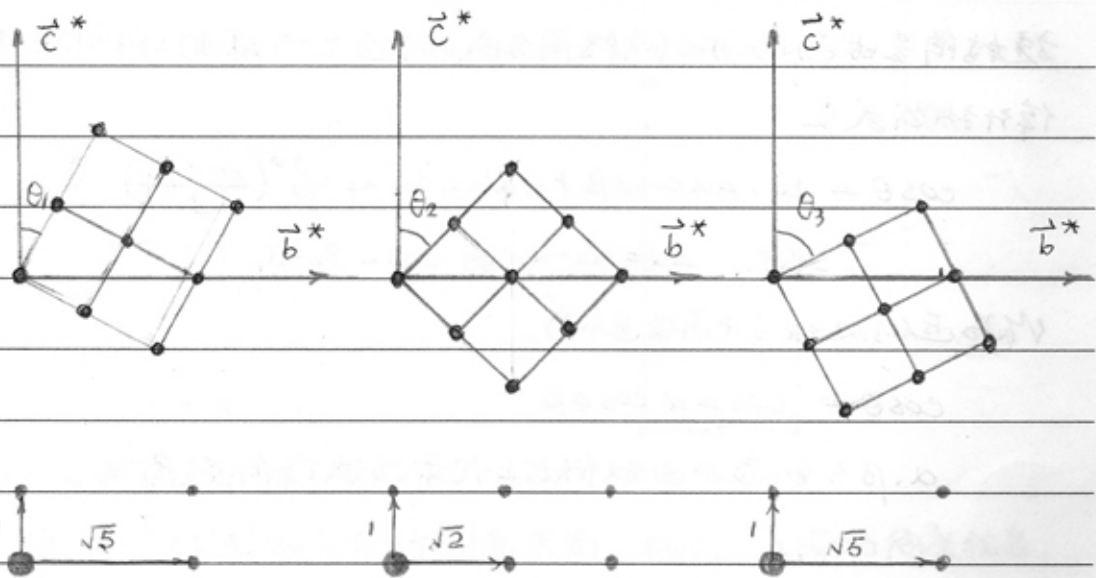
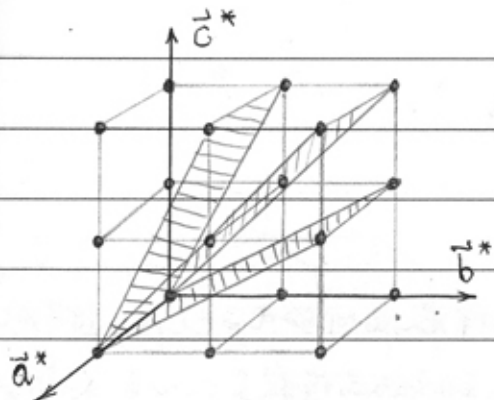
(a)	平行射线的对称点阵配置	可能归属的晶系(空间)
正六角形	• • •	三方、六角、三角
正方形	• • :	三方、四方
同心矩形	• :	三方、四方、正立六角、三角、单斜
矩形	:	同上
平行四边形	• :	所有七个晶系

2. 旋转晶体的重构三维倒易易互阵

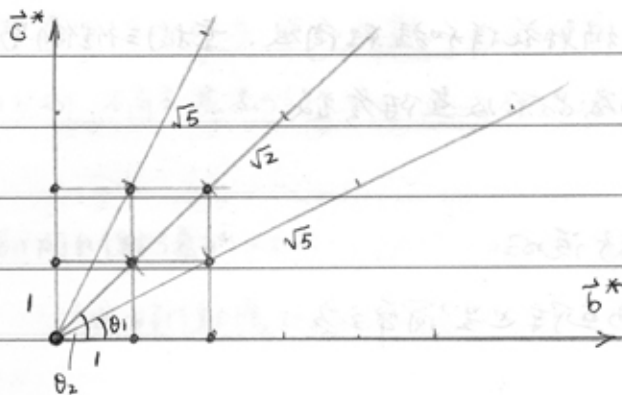
对连续绕晶体某一特定晶轴旋转试样，获得一系列电子衍射花样。根据这些电子衍射花样和旋转角度，重构三维倒易互阵，由此确定未知结构所属晶系及点阵参数。

试用简单主方来进行说明

简单主方的倒易互阵是简单主方



根据实验而获得的系列电子衍射花样，便可重构三维倒易点阵。方法如下：



倒易点阵重构图示

两个需要说明的问题

a) 特立品轴的选择：应选择最易抑的电子衬象，有百种对应品体的单胞参数。通常要强做样品体获多个ED来试探。

b) 在电镜实验室中，是利用双倾样品台来实现试样的倾转。旋转角是由两个方向的倾转角合成的，这是一个球面三角问题，其计算公式是

$$\cos \theta = \cos \alpha \cos \beta + 2 \sin \alpha \sin \alpha \sin^2 \left(\frac{\beta_2 - \beta_1}{2} \right)$$

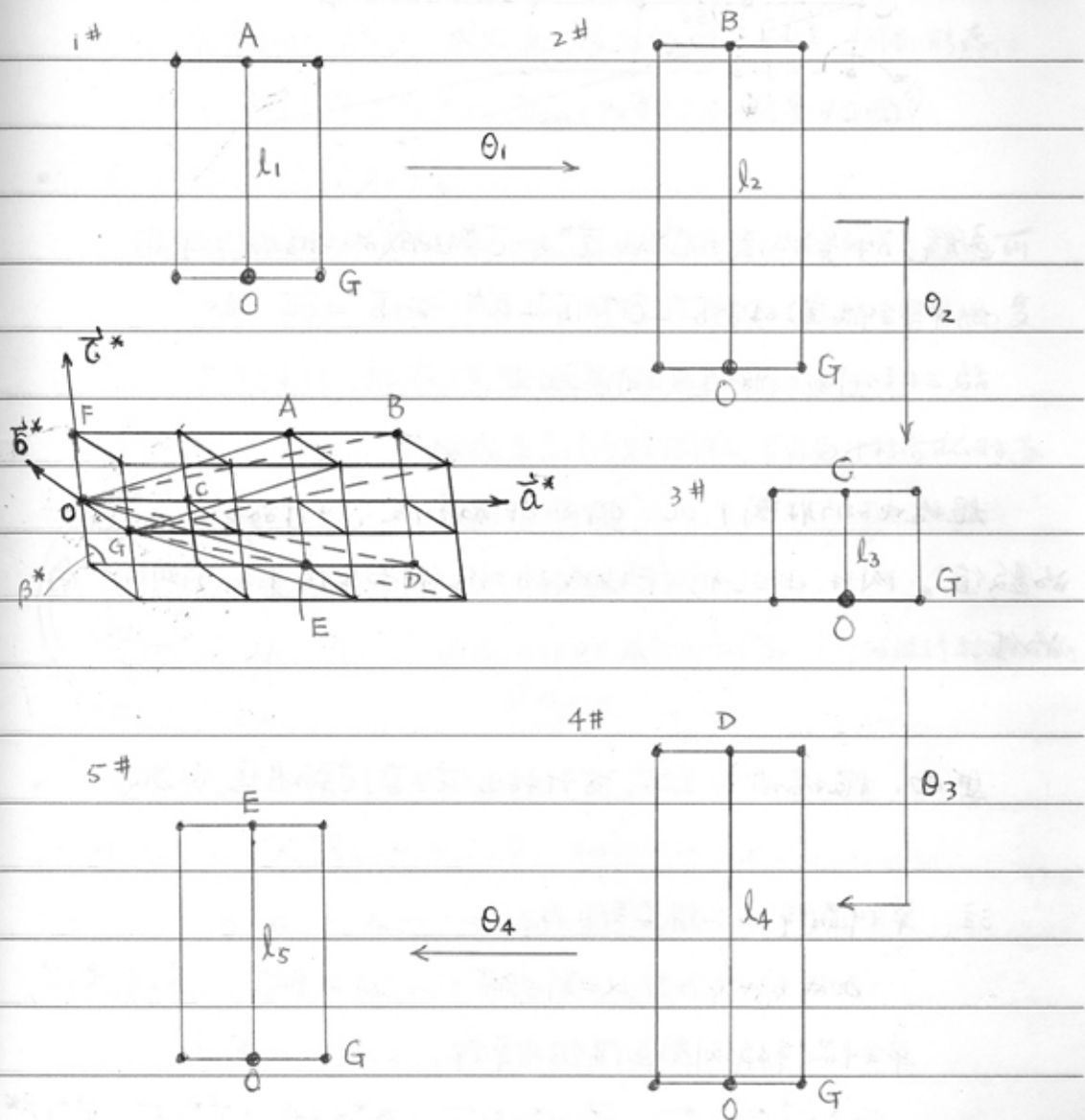
$$\text{其中: } \Delta \alpha = \alpha_2 - \alpha_1, \quad \Delta \beta = \beta_2 - \beta_1$$

作为近似处理（小角度近似）。

$$\cos \theta \approx \cos \Delta \alpha \cos \Delta \beta$$

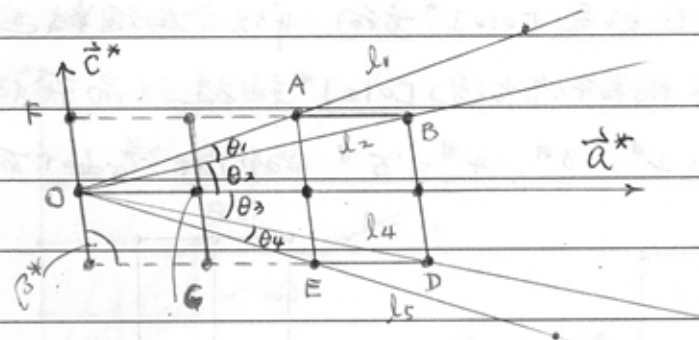
α, β 分别表示由双倾台上记录的试样倾转角度。

现再举一例。如图是一个简单之倒易易互阵。如果选择的
短向距矢量列正好是 $[010]^*$ 方向，并使它在旋转过程中一
直保持不变，这相当于作出绕 $[010]^*$ 轴旋转而获得一系
列倒易平面 $1^{\#}$, $2^{\#}$, $3^{\#}$, $4^{\#}$, $5^{\#}$ 的衍射谱如下所示。



角速度的射影相当了一个倒易平面，按它们之间的角度组合，
重构三维倒易互阵的过程如前所述。具体操作如下：

以 3D 例易互阵平面为标准绘图。



这样，而得的图就是由 \vec{a}^* 和 \vec{c}^* 组成的三维例易平面

好了单斜晶系。由于 $\vec{b}^* \perp \vec{c}^*$, $\vec{b}^* \perp \vec{a}^*$, 而 $\vec{b}^* = \overline{OG}$ 已知。

故三维例易互阵便可构造出来。

根据电学射影图中 OC , OG 和 OF 的长度, 可计算出 $\vec{a}^*, \vec{b}^*, \vec{c}^*$ 的数值。同时, 由 OC 和 OF 组成的二维例易互阵平面, 可测得 β^* 角的值。

进而, 根据例易关系, 可计算出 \vec{a} 、 \vec{b} 、 \vec{c} 的长度和方向。

注: 单斜晶系的条件是互为:

$$a \neq b \neq c, \quad \alpha = \gamma = 90^\circ, \quad \beta < 90^\circ, \quad \vec{b} \perp \vec{a}, \quad \vec{b} \perp \vec{c},$$

单斜晶系的例易互阵仍为单斜。

$$a^* \neq b^* \neq c^* \quad \alpha^* = \gamma^* = 90^\circ, \quad \beta^* > 90^\circ, \quad \vec{b}^* \perp \vec{a}^*, \quad \vec{b}^* \perp \vec{c}^*$$

§7. 多晶粉末衍射背景

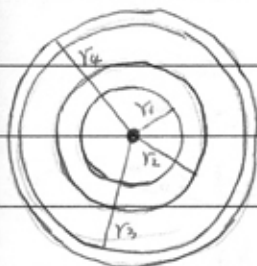
- 多晶，是由随机的无定向分布的微小晶粒组成的晶体
- 多晶的倒易空间互成形态

是由单晶倒易空间在三维空间，随机旋转而形成的多层同心球。或者说，多晶体的(hkl)倒易形态，是以倒易原点为中心， $r_{hk\bar{l}}$ 为半径的倒易球面。

多晶体的电子衍射背景

倒易球面与反射球(Ewald球)面相截为一个圆，而有轴产生衍射的斑点都同理扩展为圆环。因此，多晶体的衍射花样是一系列的同心圆环。

根据多晶体的圆环，可鉴定样品的对称性



的晶面间距

$$d = \lambda / r$$

结合 JCPDF 或 JCPDS 数据，可进行物相分析。

立方晶系多晶体衍射背景的特点：

根据 $d = a / \sqrt{h^2 + k^2 + l^2} = a / \sqrt{N}$ 所以 $r \propto 1/d$

$$\therefore r_1 = r_2 = r_3 = \dots r_n \dots = \sqrt{N_1} = \sqrt{N_2} = \sqrt{N_3} = \dots \sqrt{N_n} \dots$$

若限制不同布喇格移子的强度相等(结构因子)，则有

$$\left\{ \begin{array}{l} f.c.c \text{ 晶体为: } \sqrt{3} = \sqrt{4} = \sqrt{8} = \sqrt{11} = \sqrt{12} = \sqrt{16} \dots \\ b.c.c \text{ 晶体为: } \sqrt{2} = \sqrt{4} = \sqrt{6} = \sqrt{8} = \sqrt{10} = \sqrt{12} \dots \end{array} \right.$$

由此，从衍射环半径大小的比值关系，可推断多晶体的结构类型。

对于立方晶系，因 a/a 轴比和 b/a 轴比不同，无规律可循。

3.8、多次衍射的射谱

晶体对电子的散射能力强，衍射束的强度往往与射束束相当，因此，衍射束又可视为晶体内部新的入射束，继续在晶体中产生二次 Bragg 衍射，甚至三次 Bragg 衍射。这种现象称为二次衍射或多次衍射效应。

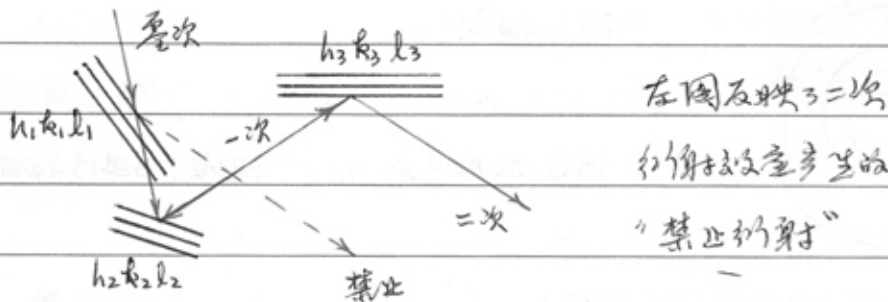
多次衍射谱有如下特点：

1) 在单晶衍射谱上出现一些额外加强带。

2) 二次衍射斑点与一次衍射的基带的位置重合，但衍射斑点强度发生反常情况。

3) 二次衍射斑点出现在一次衍射的禁止位置上。

总之，多级衍射效应对电子衍射谱的分析带来一些干扰。



在图反映 3 次

衍射时发生产生的

“禁止衍射”

一般情况下，二次衍射斑点的强度比一次衍射斑点弱。

二次衍射常出现在两个一次衍射斑点所属衍射

余易的合成余易的端面上，即有：

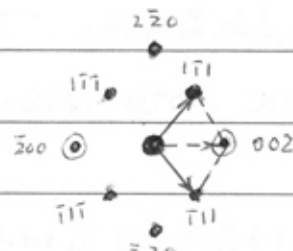
$$(h, k, l) = (h_1 \pm h_2, k_1 \pm k_2, l_1 \pm l_2)$$

金刚石结构中，

二次衍射弱的经常出现在禁止

衍射斑点(002)位置，即

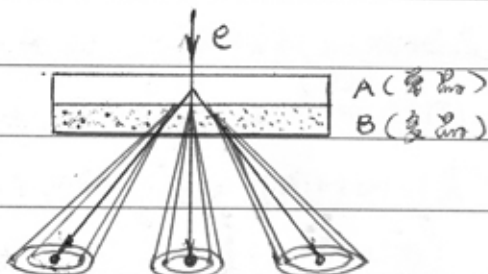
$$g_{1\bar{1}1} + g_{\bar{1}11} = g_{002} \text{ (禁止衍射)}$$



复合材料中常有复相晶界物质存在，这时二次衍射导致的

衍射加强区要比单相材料复杂得多。试举两例：

1) 单品和多晶双层膜，上为单品，下为多晶，且多晶的晶面间距大于大于单品晶面间距。这时产生的二次衍射如图所示：



2) Ni-Ti-C合金属材料的电子衍射图

其中：黑色斑点很强，组成两层格子

红色斑点很弱，绕其中一组黑色斑点

对称分布

两层主要格子强度存在两个物相。 $Ni-Ti-C$

合金中常有 TiC 相时致析出，强分析，这

两层格子分别为基体 $Ni-Ti-C$ 相和第二相 TiC 的衍射斑点。

强双晶分析，这些红色衍射点是基体相和 TiC 相复合作用构成的，即有二次衍射效应。具体解释如下：

(a) 表示两块 d_{hkl} 值



不同的晶带叠加在一起

与入射电子束作用，构成

一次衍射 D_1 和 D_2 ，以及

二次衍射 D_3

(a)

(b) 为基体相的一次
衍射花样



(c) 为第二相 TIC 的

一次衍射花样

(b)

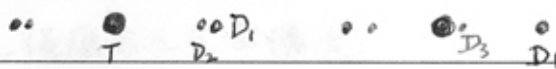
(c)

(d) 为两相一次衍射的

复合花样



(e) 为以基体相一次



衍射束 D1 为入射



束、由 TIC 相衍射

(d)

(e)

形成的二次衍射

花样与 D1 的复合

花样



(f) 为 D1, D2 和 D3



衍射的复合花



样。

(g)

(h)

(i)

§9. 麦晶的晶体几何学

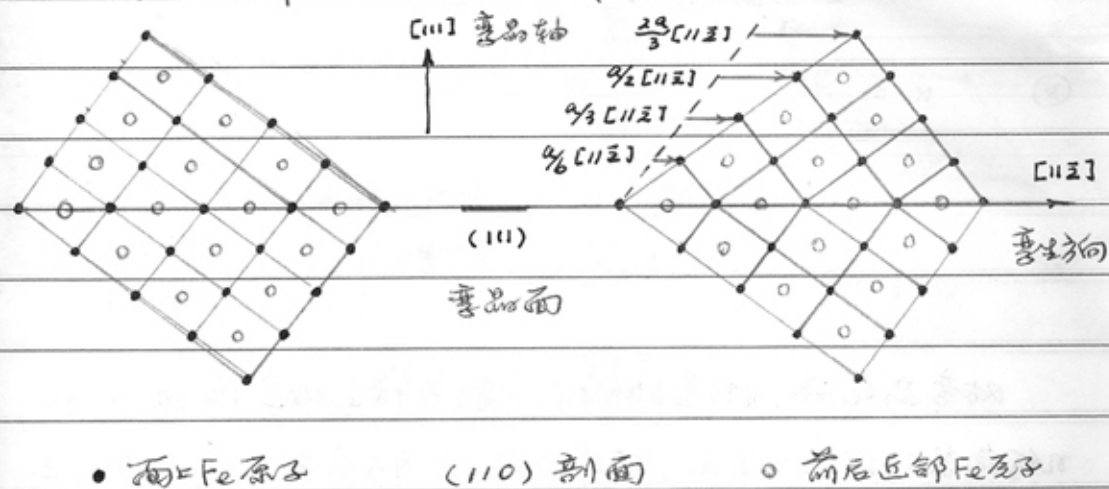
1. 麦晶的晶体几何学

麦晶通常指由一连取向关系并排生长在一起的同一物质的两个晶粒。

- 生长麦晶：在晶体生长过程中或在相变过程中形成的麦晶。如熔点金属结晶、气相凝固、电脉冲等，固态相变等。
- 形变麦晶：晶体在外力作用时因形变而形成的麦晶。

从晶体学讲，可视麦晶由其的一部分为另一部分以某低指数晶面为对称面的“反映”（镜像），也可看成是以某低指数晶面向轴旋转一定角度而成。

5. C-C 晶体 Y-Fe 固相变形成麦晶的示意图



麦晶面：即麦晶部分与基体部分的交界面

麦晶轴：麦晶面的垂直方向

麦生方向：麦生切变的方向

麦晶部分就是以麦晶面作为镜面与基体对称的。

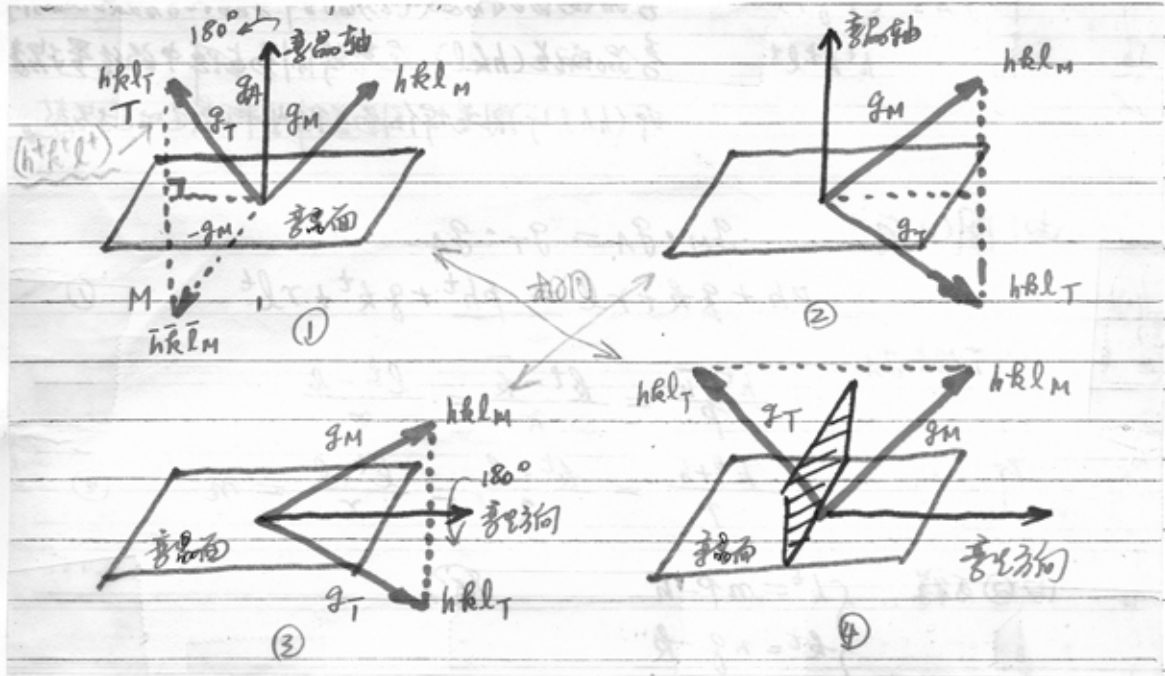
孪晶一般存在四种晶体学关系。

1) 基体与孪生面的法线(孪晶轴)旋转 180°

2) ““““”为镜面进行反映

3) ““““”孪生方向为轴旋转 180°

4) ““““”正交的面为镜面进行反映。



对孪晶电极材料特性的分析，一般为柱状斑点扫描。但从几何角度讨论取向关系，不涉及结构因子相关的强度分析。这样，上述四种孪晶关系，只需考虑其中①、②两种情况即可。

2. 主方晶系孪晶衍射带的分析

定义下述符号，以建立方晶系衍射带数变换公式

$g_M = (h k l)_M$ 基体晶轴对称互指数

$g_T = (h k l)_T$ 与“...”同名的晶体轴对称互指数
对称指数:

$g_A = (p g r)$ 晶面指数 (该晶面中晶轴指数与其相同)

$h^t k^t l^t$ 晶轴对称 $(h k l)_T$ 在基体晶轴互指中的位置指数

$p(h k l)_T$ 用基体晶轴互指表示时之指数

由第①得 $g_M \cdot g_A = g_T \cdot g_A$

$$\text{即: } ph + gk + rl = ph^t + gk^t + rl^t \quad ①$$

又: $TM \parallel g_A$. 由①

$$\frac{h^t - h}{p} = \frac{k^t - k}{g} = \frac{l^t - l}{r}$$

$$\text{即: } \frac{h^t + h}{p} = \frac{k^t + k}{g} = \frac{l^t + l}{r} = n \quad ②$$

由②得

$$\begin{cases} h^t = np - h \\ k^t = ng - k \\ l^t = nr - l \end{cases}$$

代入①或②

$$n = \frac{2(ph + gk + rl)}{p^2 + g^2 + r^2}$$

$$\begin{cases} h^t = -h + \frac{2p}{p^2 + g^2 + r^2} (ph + gk + rl) \\ k^t = -k + \frac{2g}{p^2 + g^2 + r^2} (ph + gk + rl) \end{cases} \quad ③$$

$$l^t = -l + \frac{2r}{p^2 + g^2 + r^2} (ph + gk + rl)$$

该式即是求晶轴对称 $(h k l)_T$ 在基体晶轴互指中的位置坐标公式

该公式相当于从晶面坐标到基体坐标的变换

$h^t k^t l^t$ 与 $(h k l)_T$ 是完全对称的，公式可以互换，即

即已知 $h^t k^t l^t$ 的情况下，用上式求出 $(h k l)_T$ 的值

$$\begin{cases} h = -h^t + \left(\frac{2P}{p^2+q^2+r^2}\right) (ph^t + qk^t + rl^t) \\ k = -k^t + \left(\frac{2q}{p^2+q^2+r^2}\right) (ph^t + qk^t + rl^t) \\ l = -l^t + \left(\frac{2r}{p^2+q^2+r^2}\right) (ph^t + qk^t + rl^t) \end{cases} \quad (4)$$

该公式为素晶物理指数从基体坐标到素晶坐标的变化

1) 负端点: 素晶面 $\{p+q+r\} = \{111\}$

$$\text{则 } \begin{cases} h^t = -h + \frac{2P}{3} (ph + qk + rl) \\ k^t = -k + \frac{2q}{3} (ph + qk + rl) \\ l^t = -l + \frac{2r}{3} (ph + qk + rl) \end{cases}$$

2) 伸端点: 素晶面 $\{p+q+r\} = \{112\}$

$$\text{则 } \begin{cases} h^t = -h + \frac{P}{3} (\quad \quad) \\ k^t = -k + \frac{q}{3} (\quad \quad) \\ l^t = -l + \frac{r}{3} (\quad \quad) \end{cases}$$

讨论:

1) 当 $ph + qk + rl = 3n$ ($n=0, 1, 2, 3, \dots$) 时

• 对于 C.C. 晶体有

$$\begin{cases} h^t = -h + 2nP \\ k^t = -k + 2nq \\ l^t = -l + 2nr \end{cases} \quad \text{即} \quad \begin{bmatrix} h^t \\ k^t \\ l^t \end{bmatrix} = \begin{bmatrix} \bar{h} \\ \bar{k} \\ \bar{l} \end{bmatrix} + 2n \begin{bmatrix} P \\ q \\ r \end{bmatrix}$$

高意味着，指数为 $(hkl)_T$ 的零晶面，在基体倒易矩阵中的位置是从基体双极点 $(\bar{h}\bar{k}\bar{l})_M$ 位移一个 $2n <111>$ 的距离，从而与另一基体双极点重合。

例：求 $b-c-c$ 晶体中，零晶面为 (111) 时，零晶 $(\bar{2}44)$ 反射在基体倒易矩阵中的位置

$$\therefore ph + qk + rl = \bar{2} + 4 + 4 = 6 = 3 \times 2, \text{ 且 } n=2$$

$$\therefore \begin{bmatrix} h^t \\ k^t \\ l^t \end{bmatrix} = \begin{bmatrix} \bar{2} \\ 4 \\ 4 \end{bmatrix} + 2 \times 2 \begin{bmatrix} 1 \\ 1 \\ 1 \end{bmatrix} = \begin{bmatrix} 6 \\ 0 \\ 0 \end{bmatrix}$$

意味着，零晶双极点 $(\bar{2}44)_T$ 与基体双极点 $(600)_M$ 重合

• 对 $b-c-c$ 晶体

$$\left\{ \begin{array}{l} h^t = -h + np \\ k^t = -k + nq \\ l^t = -l + nr \end{array} \right. \quad \text{且} \quad \left[\begin{array}{c} h^t \\ k^t \\ l^t \end{array} \right] = \left[\begin{array}{c} \bar{h} \\ \bar{k} \\ \bar{l} \end{array} \right] + n \begin{bmatrix} p \\ q \\ r \end{bmatrix}$$

此时，指数为 $(hkl)_T$ 的零晶双极点，在基体倒易矩阵中的位置是从基体双极点 $(\bar{h}\bar{k}\bar{l})_M$ 位移一个 $n <112>$ 距离，与另一基体双极点重合。

例：求 $b-c-c$ 晶体中，零晶面为 $(\bar{1}12)$ 时，零晶 $(\bar{2}\bar{2}2)$ 反射在基体倒易矩阵中的位置

$$\therefore ph + qk + rl = \bar{2} + \bar{2} + 4 = 0, \quad \text{且 } n=0$$

$$\therefore \begin{bmatrix} h^t \\ k^t \\ l^t \end{bmatrix} = \begin{bmatrix} \bar{2} \\ 2 \\ 2 \end{bmatrix} + 0 \times \begin{bmatrix} 1 \\ 1 \\ 2 \end{bmatrix} = \begin{bmatrix} \bar{2} \\ 2 \\ 2 \end{bmatrix}$$

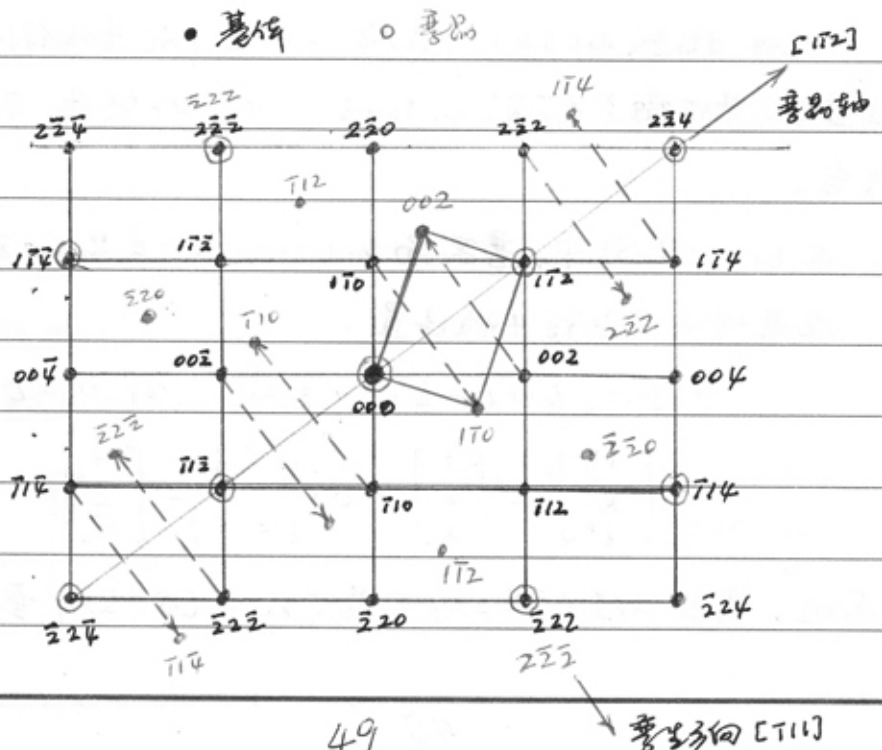
意味着，零晶双极点 $(\bar{2}\bar{2}2)_T$ 与基体双极点 $(\bar{2}22)_M$ 重合。

考虑物理与基体对晶相重合的情况是常有的，而可以找到一些复杂的规律。这里不再详细讨论。大多数情况下，一张衍射图中，只有一部分的基品相与基体对晶相重合，而另一部分则不重合。

2) 电子束沿基品面入射

此时，电子束与基品轴正交，即 $[uvw]$ 上 $[pqr]$ 基品与基体有相同的 (pqr) 反射，其反射射线 $[pqr]$ 为二次轴，相对称关系。

如图，为 b.c.c 晶体。基体晶带轴为 $[110]$ ，基品晶带轴为 $[T\bar{1}0]$ 基品面是 $(1\bar{1}2)$ ，电子入射方向为 $[T\bar{1}0]$ (对基品为 $[T\bar{1}0]$) 与基品轴 $[1\bar{1}2]$ 正交。这时，基品与基体有相同的 $1\bar{1}2, 2\bar{2}4, T\bar{1}\bar{2}$, $\bar{2}2\bar{4}$ 反射。其它基品强斑，例如看作是 $(1\bar{1}2)$ 轴，由相位基体轴旋转 180° 而得到，如图中虚线箭头所示。



3. 离子液体分子轴向角速度的标定

一般按下列步骤进行

- 1) 区分基体改性点和毒品改性点，形成二重轴角速度。
- 2) 确定基体毒品带轴 $[uvw]$ ，对基体轴角速度进行标定。
- 3) 根据下式标出与 $[uvw]$ 平行的毒品之带轴 $[u^tv^tw^t]$

$$\left\{ \begin{array}{l} u^t = -u + \left(\frac{2p}{p^2 + g^2 + r^2} \right) (pu + gv + rw) \\ v^t = -v + \left(\frac{2g}{p^2 + g^2 + r^2} \right) (") \\ w^t = -w + \left(\frac{2r}{p^2 + g^2 + r^2} \right) (") \end{array} \right.$$

其中， (p, g, r) 是毒品而， $[uvw]$ 是基体毒品带轴

$[u^tv^tw^t]$ 是与基体 $[uvw]$ 平行的毒品之带轴

此操作可标记有几种毒品而 $[pp(pqr)]$ 的可能值，也就有几种可能的 $[u^tv^tw^t]$

4) 分别绘制毒品而有可能的 $(u^tv^tw^t)^*$ = 维尔图平面，与毒品的电子轴角速度比较，从中确定 $(u^tv^tw^t)^*$ 的值

5) 确定毒品和基体重合的轴角速度点，看是否符合式③或④

$$\textcircled{3} \quad \left\{ \begin{array}{l} h^t = \pm h + \left(\frac{2p}{p^2 + g^2 + r^2} \right) (ph + gv + rl) \\ k^t = -k + \left(\frac{2g}{p^2 + g^2 + r^2} \right) (") \\ l^t = -l + \left(\frac{2r}{p^2 + g^2 + r^2} \right) (") \end{array} \right.$$

$$\textcircled{4} \quad \left\{ \begin{array}{l} h = -h^t + \left(\frac{2p}{p^2 + g^2 + r^2} \right) (ph^t + gv^t + rl^t) \\ k = -k^t + \left(\frac{2g}{p^2 + g^2 + r^2} \right) (") \\ l = -l^t + \left(\frac{2r}{p^2 + g^2 + r^2} \right) (") \end{array} \right.$$

④ (左)

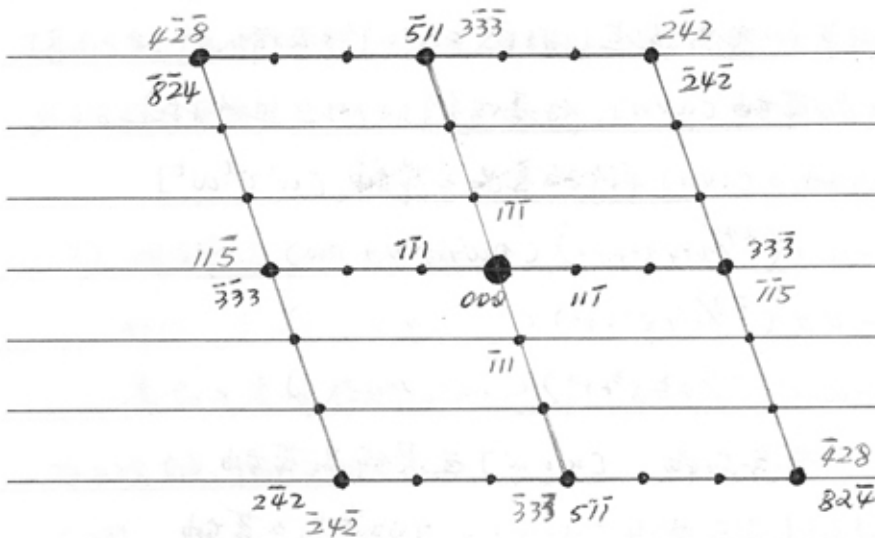
④ (右)

离心管内观察

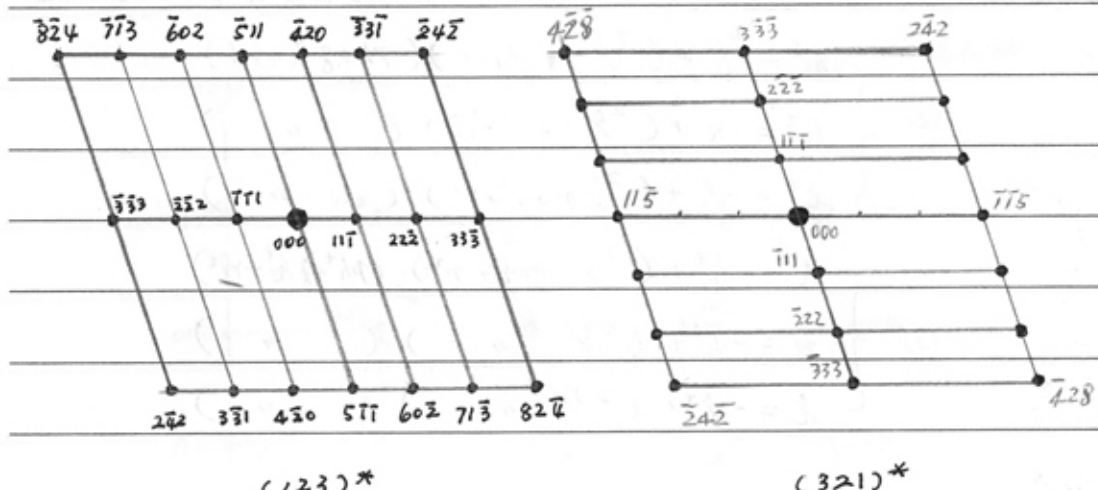
离心管外观察

下面以一具体实例说明单晶电子衍射的解密程序

如下，是对于 Si 晶体高角度的电子衍射花样，试找择数。



- 重叠，上图是由两套斑点重叠在一起组成，根据衍射斑点强度分布，试取横向三列作为一个面，纵向三列为另一个面用前述办法标定第一面指数如下图左，其晶带轴为[123]



基底衍射斑点

孪晶衍射斑点

- $\{11\bar{3}\}$ 为基面，按前述公式计算，则与基体 $[123]$ 平行的
高对称轴 $[u^t v^t w^t]$ 有如下四种

基面 $\{11\bar{3}\}$ (111) $(\bar{1}\bar{1}1)$ $(1\bar{1}\bar{1})$ $(\bar{1}\bar{1}\bar{1})$

基面 $\{11\bar{3}\}$ $[321]$ $[\bar{1}\bar{1}1]$ $[1\bar{1}\bar{1}]$ $[\bar{1}\bar{2}\bar{3}]$

- 分别绘制出与晶带的电子衍射像，发现只有 $[321]$ 晶带
的衍射像与实际电子衍射像（前图右）相符。将相位衍射
斑标准化如图。

- 验证：将基面 $(321)^*$ 上的指数 (hkl) 按公式换算
成基体坐标中的位置指数 $(h^t k^t l^t)$

基面坐标 $\bar{1}\bar{1}5$ $2\bar{4}2$ $3\bar{3}\bar{3}$ $\bar{1}\bar{1}1$ $\bar{4}28$

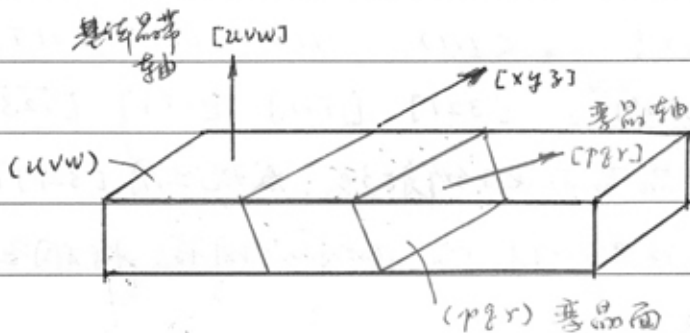
基体坐标 $3\bar{3}\bar{3}$ $\bar{2}\bar{4}\bar{2}$ $\bar{5}11$ $\frac{1}{3}(5\bar{1}\bar{1})$ $82\bar{4}$

$$\text{如 } (5\bar{1}\bar{5}) \text{ 的计算: } \begin{cases} h^t = 1 + (\frac{2}{3})(\bar{1} + \bar{1} + 5) = 3 \\ k^t = 1 + (\frac{2}{3})(\bar{1} + \bar{1} + 5) = 3 \\ l^t = -5 + (\frac{2}{3})(\bar{1} + \bar{1} + 5) = -3 \end{cases}$$

将基体和基面的两组衍射像上之指数标示在反射系谱上。

4 高品的直线

所谓高品的直线就是高品界面与试样表面的直线



直线在电子显微图像上是可见的

试样表面光线 高品轴 直线方向

直线的取向关系 $[uvw] \times [pqr] \rightarrow [x y z]$

用 $[pqr]$ 所有可能的值与 $[uvw]$ 叉乘，可唯一确定
某一 $[pqr]$ 的值对应于 $[x y z]$ 直线。

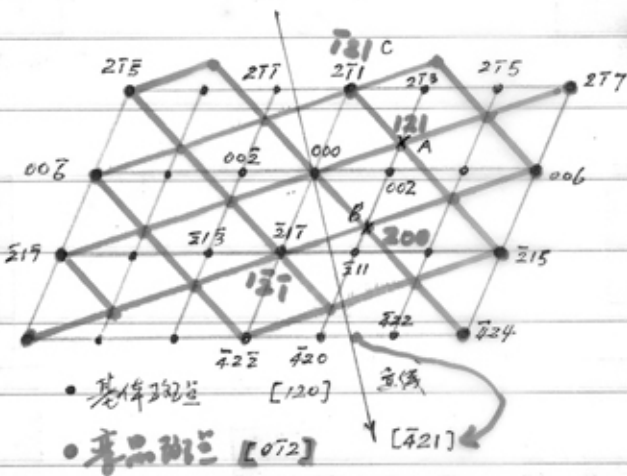
直线在高品衍射图中非常有用，因为它与高品面
平行。于是，在已知 $[uvw]$ (基底晶带轴) 和 $[x y z]$ (直线方向)
的情况下，可唯一确定 $[pqr]$ (高品轴) 或 (pqr) (高品面)
 (pqr) 确定，便可进行指数的坐标变换。

例：如图，为某 b.c.c 钨属高品区获得的 SAED，高品直线
用箭头表示在衍射图上，试标定其指数。

答、1) 区分两个斑点

2) 确定基底斑点如图，确定高品带轴为 $[120]$

3) 找出高品可能的高品面指数 (pqr)



根据直线在平行射影中的位置，可确定直线 $[x:y:z] = [4:2:1]$

$$[xyz] = [uvw] \times [pqr]$$

则对 $\{1, 2\}$ 零品面可纯的连线为向量表计数如下：

寒风	$\bar{f}12$	$\bar{f}12$	$1\bar{2}$	121	$\bar{f}21$	$1\bar{2}1$	$12\bar{1}$	211	$\bar{2}11$	$2\bar{1}1$	$21\bar{1}$	<u>112</u>
曲线	$\bar{4}\bar{2}3$	$\bar{4}23$	$4\bar{2}1$	$\bar{2}10$	$\bar{2}1\bar{4}$	214	$2\bar{1}0$	$\bar{2}13$	$\bar{2}1\bar{5}$	$\bar{2}15$	$2\bar{1}3$	<u>$\bar{4}21$</u>

墨型，只有(112)孪晶面对应的区域为[1-21]

$$\text{BP} \quad (P\%r) = (112)$$

$$4) \text{ 加权法} \quad \begin{cases} h = -h^t + (\frac{p}{3})(ph^t + qk^t + rl^t) \\ k = -k^t + (\frac{q}{3})(ph^t + qk^t + rl^t) \\ l = -l^t + (\frac{r}{3})(ph^t + qk^t + rl^t) \end{cases}$$

计算A、B、C三点在弯管中的位置指数，标注如图。

$$A = \langle h^+ k^+ l^+ \rangle_A = \frac{1}{3} [217] \quad \text{简称: } \langle h k l \rangle_A = \langle 121 \rangle$$

$$B_2 = (h^t k^t l^t)_B = \frac{1}{3}(\bar{4}24) \quad \text{"} \quad (h k l)_B = (200)$$

$$C = (h^t R^t \ell^t)_c = (z\bar{r}I) \quad \Rightarrow \quad (h\bar{k}\ell)_c = (\bar{r}zI)$$

5) 求当螺旋升角为 $[OT_2]$

第三章 电子显微图像

在第一章中，我们通过电子显微图像的成像模式

质厚补偿像

$\left\{ \begin{array}{l} \text{暗场高倍像} \\ \text{相位像} \end{array} \right. \rightarrow \text{“像”}$

(HRTEM 像)

下面分别予以讨论。

衬度的意义：图像上各部分的强度（光或电子密度）相对
于其平均强度的变化

$$C(\vec{r}) = I_1 - \bar{I} / \bar{I} = I(\vec{r}) - 1$$

衬像，实际上反映了图像中强度分布不均匀的现象。

§1 质厚补偿像

当电子束通过由无定形非晶物质组成的样品时，将
发生两个主要过程，即散射和吸收。

TEM 试样很薄，吸收作用可忽略不计，可以认为，样品
材料的衬像主要因材料对电子的散射而引起的。材料对
电子的散射主要有两个因素。

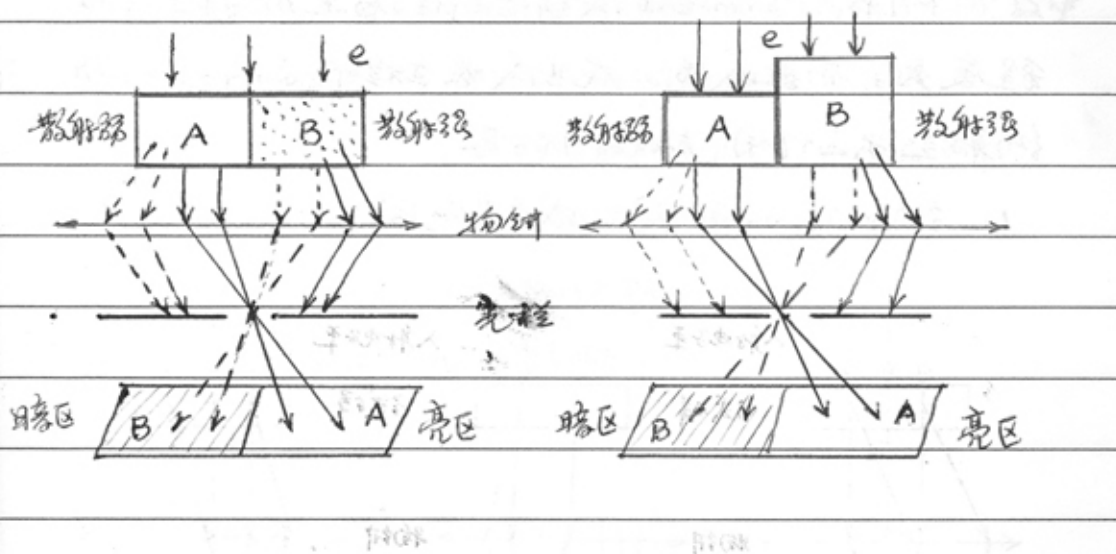
质量（密度）的差异

试样厚度的差别

→ 衬像来源

样品各部位因质量（密度）的差异而对电子的散射
能力不同，引起底片上亮度的变化，称为质厚补偿像。

下面两图是质厚补偿产生原理的示意图。



质厚补偿像的特点是单束成像，即只用透射束成像。散射电子对光栏挡住不能参与成像，对图像的强度没有贡献。

由此可知：质量较大、试样较厚的部位，由于散射的电子较少，参与成像的电子较少，该部位呈现暗区。

定量分析采用了质厚补偿散射束成像。

一个入射电子通过试样厚度为 dt 被散射的情况可如下描述：

$$\frac{dN}{N} = \pi \frac{PNA}{A} \frac{Z^2 e^2}{V^2 \theta^2} \left(1 + \frac{1}{Z}\right) dt$$

式中： N ：电子入射数目； P ：试样至疏极； A ：质厚

Z ：原子序数； V ：加速电压； θ ：散射角

NA ：阿伏加德罗常数 t ：试样厚度

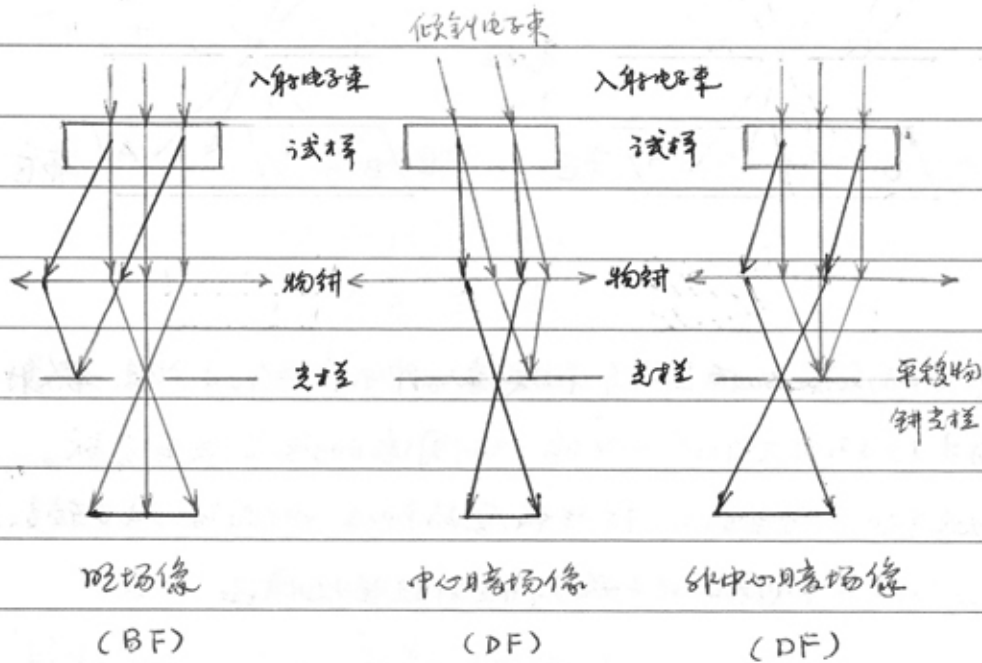
由上式可知： $t \uparrow, Z \uparrow \quad \frac{dN}{N}$ (散射几率) $\uparrow \quad$ 导致暗区

$V \uparrow \quad \frac{dN}{N} \downarrow \quad$ 加速电压越高，穿透力越强。

§2 衍射衬度像

衍射衬度像是由试样各部位满足 Bragg 条件的程度差异而造成的。在其成像过程中，晶体对电子的衍射起决定作用，故称衍射像。

1. 衍射像的形成（成像光路图）



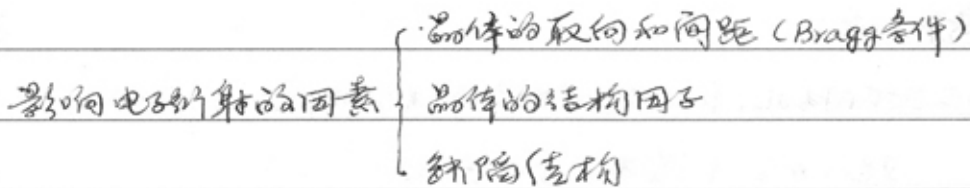
BF：明场像：满足 Bragg 条件部位暗，反之则亮。

DF：暗场像：~~~亮，反之则暗。

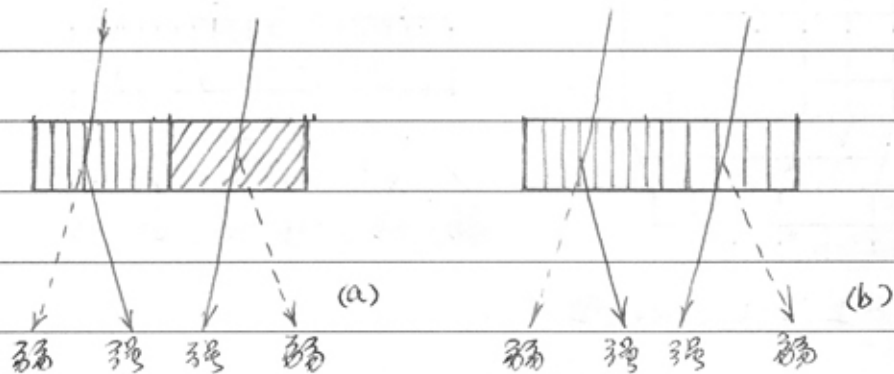
衍射像也是单束成像，或用直射束成像，或用某一衍射束成像。对 DF 而言，对成像衍射束有贡献的样品部位才形成亮区。

2. 引起成像的属性描述

衍射成像产生的原因是在晶体内各部位的衍射强度有差别，故必须从影响衍射强度的各种因素来分析衍射成像的原因。



1) 晶体取向和晶面间距的影响



(a) 两晶体取向不同，左晶体处于强衍射位置，而右晶体衍射弱

(b) 两晶体同方位面间距不同，左晶体处于强衍射，右晶体衍射弱

2) (结构) 因子的影响 (F 是单位内各原子对入射波散射的合成振幅)



$\text{设 } F_1 > F_2$

二相粒子衍射成像

基体衍射成像

(a) BF, 基体衍射强，形成暗区；二相粒子衍射弱，形成亮区

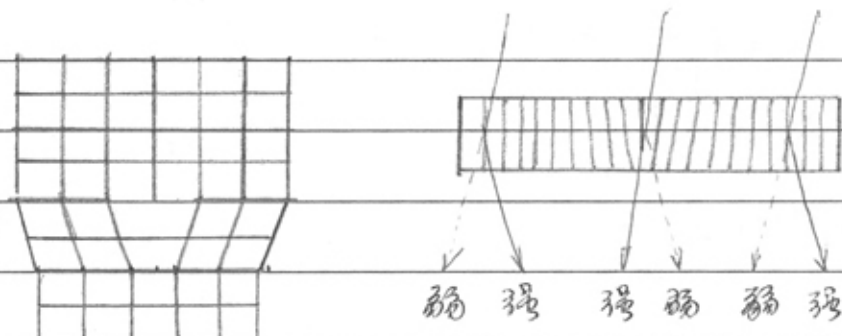
(b) DF “ ” “ 衍射成像，二相粒子亮

(c) DF, 基体衍射成像，基体暗亮

3) 钩隔(缺陷)的影响

由于钩隔的存在，使局部晶格发生畸变，改变了这些部位的对称条件。导致钩隔区域与正常区域有不同的衍射强度。

正因为此，衍射像成为晶体缺陷研究的强大有力手段。现以刃型位错为例予以说明。



刃型位错结构模型

晶体的一般区域满足 Bragg 条件，钩隔部位不满足 Bragg 条件，使钩隔部位与两侧的衍射不同。

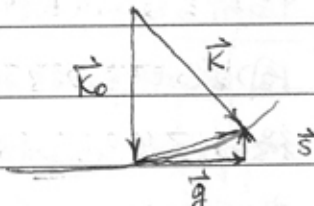
§3 衍射的运动学理论

前节对电子衍射像的基本概念作了形象的描述，这对我们形成清晰的物理图像是有帮助的。但为了深入理解衍射原理并从定量上进行描述，必须引入一些数学。考虑到教学之时间有限，下面我们将尽量避免推导过程，只只给出具体的解析表达式和公式，再由这些公式去阐释电子衍射像中的有关规律。

1. 运动学理论的基本假设

1) 双束近似

认为电子束通过晶体试样时，只存在一束最强的衍射束，其它衍射束可忽略不计。

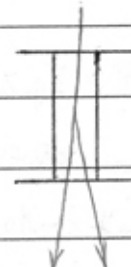


在这种情况下，反射平面接近但不严格处于准确的 Bragg 位置，其偏离大小由偏离参数 δ 来描述。

在双束近似条件下，波、场像呈互补的。

2) 柱体近似

认为入射束和衍射束都在一个表面积很小（相对于表面积大）的晶粒内通过。由此认为，各晶粒之间的衍射束互不干扰。



振幅只代表晶粒内的结构特征。反之，若削弱下表面某点的衬度，便可知每一片晶粒内的结构。这意味着，实验中看到的像，是晶体结构沿入射方向的“投影图”。

3) 入射束与衍射束之间无相互作用

该假设实际上认为入射束与衍射束之间无能量交换。

(实际情况下, S 效应, 选择截面, 该假设越符合实际。)

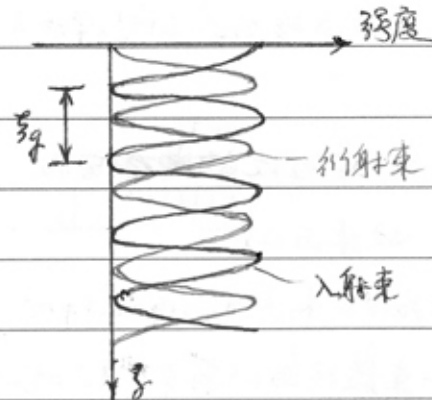
2. 引光距离

实验和理论都表明, 当

把束入射到晶体中后, 入
射束的传播速度和衍射束传播

速度常常发生周期性变化(如
图), 把电子束由强到再一次变

弱的偏转距离称作“引
光距离”, 用 δ_g 表示。



$$\text{理论计算的结果是: } \delta_g = \pi V_0 \cos \theta / \lambda F_g$$

其中: δ_g : 一个单色的传播距离

V_0 : 单色的传播速度

θ : Bragg 反射角

δ_g 在衍射运动学和动力学理论中都是非常重要的参数

由此可知, 若样品厚度 t < δ_g 相当或大于 δ_g , 则不会
发生入射束与衍射束的相互作用。

显然, 对于运动学理论, 作用

$$t \ll \delta_g$$

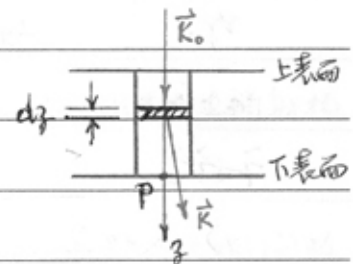
这是运动学理论的应用界限。

3. 完整晶体的暗场像

讨论完整晶体的暗场像，目的在于研究晶体具有缺陷时所引起的亮度变化。完整晶体是指晶体中不包含位错、原错、晶界和第二相粒子等微观的晶体缺陷。但晶体可能由于宏观应力作用，如弯曲而弯曲引起的影响应加以之。

求完整晶体暗场像的亮度，实际上就是求样品下表面衍射波的强度分布。

求完整晶体暗场像，要用“衍射近似”的方法，认为晶体下表面P点的衍射振幅是入射束(平面波)作用在晶体内部各层上产生的衍射振幅的迭加。



下面计算第一层d₁的衍射振幅d_{1g}。
在讨论结构因子时，要计算入射束和散射波在R方向上的波程差

$$\delta = (\vec{R} - \vec{R}_0) \cdot \vec{r}_1 \quad (\vec{r}_1 \text{ 是第 } 1 \text{ 层位置矢量})$$

则相位差 $\varphi = 2\pi\delta = 2\pi(\vec{R} - \vec{R}_0) \cdot \vec{r}_1$

柱体中 \vec{r}_1 与位置矢量 - 一层层对衍射振幅的贡献可表达为：

$$d\phi_g = \frac{i\pi}{\lambda g} \exp[-2\pi i(\vec{R} - \vec{R}_0) \cdot \vec{r}_1] dz$$

其中，i是因为衍射束位相相对于入射束位相有 $\pi/2$ 的改变
 λ/g 是衍射束的振幅

$\therefore \vec{R} - \vec{R}_0 = \vec{z} + \vec{s}, \vec{z} \cdot \vec{s} = \text{整数}$

$\therefore d\phi_g = \frac{i\pi}{\lambda g} \exp[-2\pi i(\vec{z} + \vec{s}) \cdot \vec{r}_1] dz$

$$= \frac{i\pi}{\lambda g} \exp(-2\pi i \vec{s} \cdot \vec{r}_1) dz = \frac{i\pi}{\lambda g} \exp(-2\pi i s z) dz$$

P型的射线强度是随距离对称的，幅频谱的迭加。

$$\begin{aligned}\phi_g &= \frac{i\pi}{\xi_g} \int_0^t \exp(-2\pi i s z) dz \\ &= \frac{i\pi}{\xi_g} \frac{\sin(\pi s t)}{\pi s} \exp(-\pi i s t)\end{aligned}$$

P型的衍射强度为：

$$I_g = \phi_g \phi_g^* = \frac{\pi^2}{\xi_g^2} \frac{\sin^2(\pi s t)}{\pi^2 s^2}$$

即： $I_g \propto \frac{\sin^2(\pi s t)}{\pi^2 s^2}$

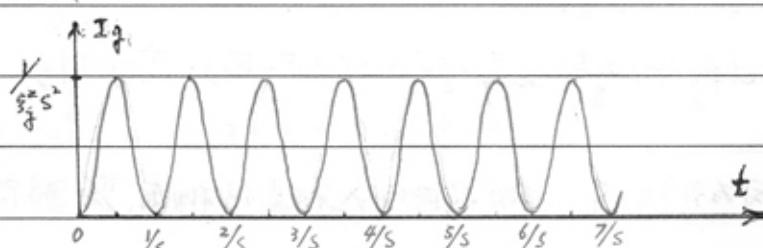
讨论：

1) S恒定，t变化 \rightarrow 厚度条纹

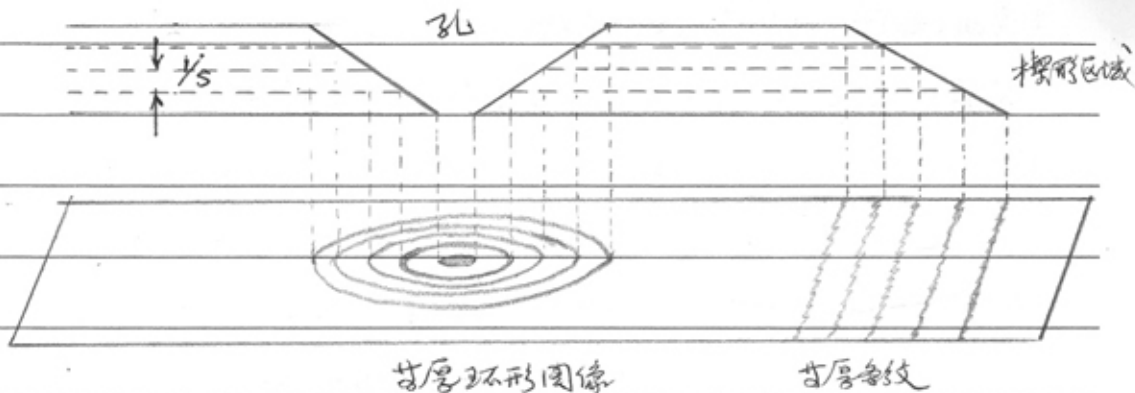
$$t = \frac{n}{s} \text{ 时}, \sin(\pi s t) = 0, I_g = 0 \quad \text{强度极小}$$

$$t = \left(n + \frac{1}{2}\right) \frac{1}{s} \text{ 时}, \sin^2(\pi s t) = 1, I_g = \frac{1}{\xi_g^2 s^2}, \dots \text{ 大}$$

由此可见：当样品厚度发生变化时，其衍射强度将会发生周期性变化，登记的画面图像如下：



试样中角孔洞或楔形边缘时，霍尔效应图像（磁场像）呈现如下特征。



图像塞暗，对于一完整晶体，随试样厚度变化，会相继发生射极
土和极+的情况，由此导致黑白程度。

换言之，相对于试样不同厚度的下表面处，将显示阴暗相间的
衬度条纹，这种条纹被称为“甘厚条纹”或“甘厚消光轮廓线”。

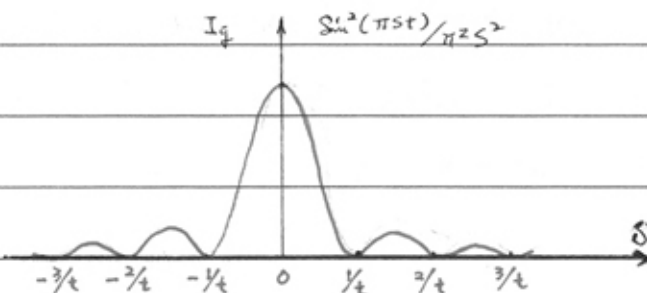
2) t 恒定，S 变化 → 等倾条纹

$$S = \frac{n}{t} \text{ 时}, \quad \sin(\pi S t) = 0, \quad I_g = 0, \quad \text{强度极小}$$

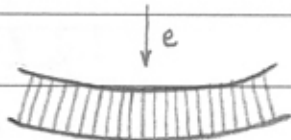
$$S = 0 \text{ 时}, \quad \frac{\sin^2(\pi S t)}{\pi^2 S^2} \text{ 有极大值} \quad \text{强度极大}$$

$$S = \frac{(n+1/2)}{t} \text{ 时}, \quad \frac{\sin^2(\pi S t)}{\pi^2 S^2} \text{ 有极值.} \quad \text{强度在极大极小之间}$$

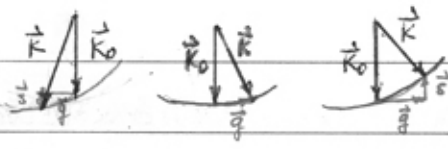
意味着 I_g 随函数图像(随 S 变化)如下所示：



用双缝观察实际样品时，通常遇到样品厚度相同，但 S 不同的情况，如硅膜样品受到电弧熏蒸后，因受热而发生弯曲（如图），纳米带弯曲时的应变 ϵ ，这时，品面因弯曲而不平行，导致各处满足 Bragg 条件不同，且连续变化。



若弯曲中心处 $S=0$ ，则两侧



$S < 0$ $S = 0$ $S > 0$

均有 S ，当 $S = \frac{n}{t} t$ 时，有衍射

射线强度极小，甚至会消失。

由衍射的变化，故会出现黑白相间的条纹。这种条纹被称作为“共倾条纹”或“共倾消光轮廓线”。
(注： \vec{K} 为保偏光矢量)

4. 完整晶体的衍射像

衍射像由透射波决定。根据德布罗意原理，透射波的近似强度为（双束公式）：

$$I_T = 1 - I_g$$

在完整晶体中，其衍射像除形成共倾和共倾条纹外，不可能显示其它特征。由于晶体飞带区域满足 Bragg 条件相同，这时各处的衍射强度相同，不显示衬度。

§4 外完整晶体的场像

1. 外完整晶体场像的基本表述

实际晶体或多或少存在不完整性，且较繁杂。这里，主要讨论晶体中存在缺陷的情况。

晶体缺陷的存在，使晶体中某一区域的原子偏离了原来的位置，从而产生畸变。

晶体缺陷中原子的偏离，集中反映为存在一个畸变的位移矢量 \vec{R}_n ，它改变了原来的互阵坐标，其坐标形式如下：

$$\vec{r}'_n = \vec{r}_n + \vec{R}_n$$

采用与完整晶体相同的方式，可求得外完整晶体场像的衍射振幅：

$$d\phi_g = \frac{i\pi}{\xi_g} e^{-2\pi i \vec{K} \cdot \vec{r}'_n} dz$$

其中： $\vec{R}' = \vec{g} + \vec{s}$ $\vec{K}' = \vec{K} - \vec{K}_0$

设晶体厚度为 t ，那么，晶体下表面处的衍射振幅为：

$$\phi_g = \frac{i\pi}{\xi_g} \int_0^t e^{-2\pi i (\vec{g} + \vec{s}) \cdot (\vec{r}'_n + \vec{R}_n)} dz$$

注意： $(\vec{g} + \vec{s}) \cdot (\vec{r}'_n + \vec{R}_n) = \vec{g} \cdot \vec{r}'_n + \vec{g} \cdot \vec{R}_n + \vec{s} \cdot \vec{r}'_n + \vec{s} \cdot \vec{R}_n$
 整数 $s \vec{g} = \vec{s}$ $= \vec{s} + \vec{g}$

- 则：
 $\vec{g} \cdot \vec{r}'_n = \text{整数}$ $e^{-2\pi i \vec{g} \cdot \vec{r}'_n} = 1$
 $\vec{s} \cdot \vec{R}_n$ 为一级半量 $e^{-2\pi i \vec{s} \cdot \vec{R}_n}$ 可忽略
 $\vec{s} \cdot \vec{r}'_n = s \vec{g}$ (\vec{s} 在 \vec{g} 方向， \vec{r}'_n 在 \vec{g} 方向的投影为 s)

于是： $\phi_g = \frac{i\pi}{\xi_g} \int_0^t e^{-2\pi i \vec{g} \cdot \vec{r}'_n} e^{-2\pi i s \vec{g}} dz$

与完整晶体中的散射振幅

$$\phi_g = \frac{i\pi}{\vec{g}} \int_0^t e^{-2\pi i \vec{s} \cdot \vec{g}} ds$$

比较，这是多了一个附加的相位因子

$$e^{-i\alpha} = e^{-2\pi i \vec{s} \cdot \vec{R}_n} \quad \alpha = 2\pi \vec{s} \cdot \vec{R}_n$$

不同的晶体缺陷引起的相位差不同，即 \vec{R}_n 存在差异，因而
相位差也不同，产生的衍射效应也不同。

$\vec{s} \cdot \vec{R}_n$ 在衍射分析中具有重要意义。

- 当 \vec{R}_n 在反射平面内时， $\vec{R}_n \perp \vec{s}$ ， $\vec{s} \cdot \vec{R}_n = 0$ ，此时不产生干涉
 - 当 \vec{R}_n 不在反射平面内，若有 $\vec{R}_n \perp \vec{s}$ ，仍有 $\vec{s} \cdot \vec{R}_n = 0$ 。
当 $\vec{R}_n \parallel \vec{s}$ 时， $\vec{s} \cdot \vec{R}_n \neq 0$ ，此时有最大干涉
- 通常称为操作反射。而在电镜实验中用矢量分析的
衍射斑点成像，矢量是可以选择的。

衍射中的相位表征，但衍射斑点在各种缺陷存在
的情况下，衍射强度的变化所引起的幅度变化了。

由于矢量可选择，对于附加相位因子，关键是要找到
不同缺陷的位置矢量 \vec{R}_n 的具体表达形式。一旦 \vec{R}_n 的符
数表达确定，则又是 $e^{-i\alpha}$ 也可确定。

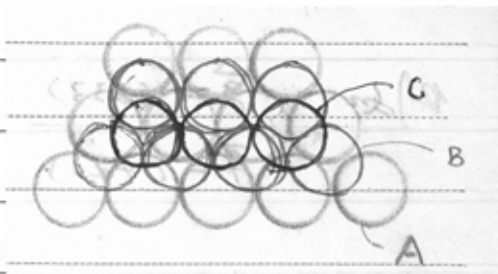
2. 层错的层场像

层错是晶体中在反匹配错位时产生的一个面缺陷。以A、B、C层序为例说明

f.c.c 晶体中的层错一般发生

在孪晶面上，孪晶面上的原子排列

在完整晶体时如右图所示：



正常排列次序为 ABCABCABC.....

抽出型层错 " " " " ABCA[]CABC.....

插入型 " " " " " ABCACBCABC.....



由于层错的存在，破坏了原子的准近邻关系，产生了一个周期畸变而造成位移矢量 \vec{R}_n 。

石墨层错 $R_n = f.c.c$ 晶体中孪晶层错位移矢量 \vec{R}_n 有其确定值

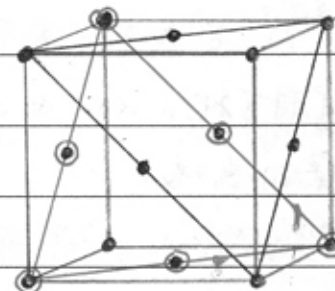
$$\vec{R}_n = \frac{1}{6} \langle 112 \rangle$$

$$\vec{R}_n = \pm \frac{1}{3} \langle 111 \rangle$$

则层错引起位相差分别为

$$\alpha = 2\pi \frac{1}{6} \cdot \vec{R}_n = \frac{\pi}{3} (h+k+2l)$$

$$\alpha = 2\pi \frac{1}{3} \cdot \vec{R}_n = \pm \frac{2\pi}{3} (h+k+l)$$



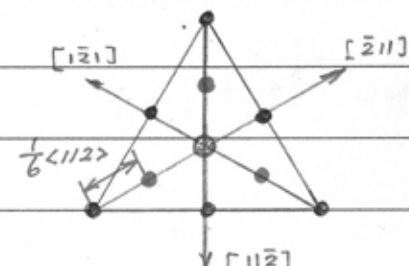
式中 $(h+k+l)$ 是干涉条纹反射率的晶面指数。

而在

f.c.c 晶体中， $h+k+l$ 为奇或

偶，代入上式可知，只可能取

$$\begin{cases} \alpha = n\pi \\ \pm \frac{2}{3} n\pi \end{cases}$$



$$\left\{ \begin{array}{l} \alpha = 2n\pi \text{ 时} \\ \alpha = \pm \frac{2}{3}n\pi \text{ 时.} \end{array} \right. \quad e^{-i\alpha} = 1 \quad \text{不显示层错程度}$$

可观察到 $\uparrow \uparrow \uparrow \uparrow$

例如，作用如下的操作以及反射成像，观察层错是否显示：

$$\left\{ \begin{array}{l} \vec{g} = (333) \\ \vec{g} = (420) \end{array} \right. \quad \left. \begin{array}{l} \alpha = 4\pi \text{ 或 } 6\pi \\ \alpha = 2\pi \text{ 或 } 4\pi \end{array} \right\} \rightarrow \text{层错可见, 但不可见}$$

$$\vec{g} = (113) \quad \alpha = \frac{8}{3}\pi \text{ 或 } \frac{10}{3}\pi \quad \text{层错可见}$$

$$\vec{g} = (222) \quad \left\{ \begin{array}{l} \alpha = \frac{8\pi}{3} \\ \alpha = 4\pi \end{array} \right. \quad \left. \begin{array}{l} R = \frac{1}{6}(112) \text{ 层错可见} \\ R = \pm \frac{1}{3}(111) \text{ " " 不可见} \end{array} \right.$$

$$\vec{g} = (224) \quad \left\{ \begin{array}{l} \alpha = 4\pi \\ \alpha = \frac{16\pi}{3} \end{array} \right. \quad \left. \begin{array}{l} R = \frac{1}{6}(112) \text{ 层错不可见} \\ R = \pm \frac{1}{3}(111) \text{ " " 可见} \end{array} \right.$$

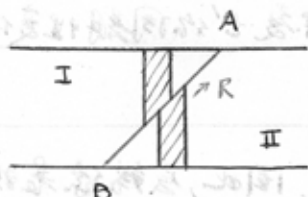
综合上面案例，可以归纳两点：

1) 要想观察到层错，只有选择适当的操作反射系才有可能。对于 S.C.C 晶体，要使 $\alpha = \pm \frac{2}{3}n\pi$ ，才能观察到层错。

2) 根据观察到的层错和所选择的操作反射系，才有可能判断层错的类型。从而我们可以有针对性地设计实验，找出晶体中可能存在的层错类型。

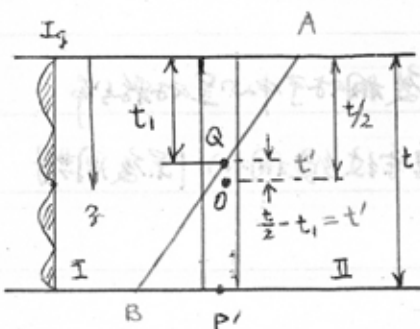
下面介绍一下倾斜层错的厚度分布。

如果层错平面倾斜于试样表面(如图), 则圆像与楔形晶带的等厚



条纹相似。它平行于层错面与试样表面的夹角。

由层错的厚度, 及为完整层错的左右两部分相互错动了一个位移矢量 \vec{R} (即互换量) 及待在(I)右(II)两部分相对错动了一个位移矢量 \vec{d} (电动汽车经层错面AB时, 产生附加相位角) 高, 错动的位移矢量为 \vec{R}



如图, 层错面AB相对于试样表面倾斜一定角度, 电动汽车进入晶带I, 附加相位角以 $= 0$, 当电动汽车进入晶带II时, 获得附加相位角 $\alpha = 2\pi \frac{\vec{R}}{\vec{R}}$

相邻下表面P'处的振幅为:

计算倾斜层错的振幅互易模型

$$\begin{aligned}\phi_g &= \frac{i\pi}{Sg} \left[\int_0^{t_1} \exp(-2\pi i Sg z) dz + \int_{t_1}^t \exp(-iz) \exp(-2\pi i Sg z) dz \right] \\ &= \frac{i}{Sg Sg} \exp(-2\pi i Sg t_1) \left[\sin(\pi t_1 Sg) + \exp(-iz) \exp(-\pi i Sg t) \sin(\pi(t-t_1) Sg) \right] \\ &= \frac{i}{Sg Sg} \exp\left(-\frac{iz}{2}\right) \exp(-\pi i Sg t) \left\{ \sin\left(\pi t Sg + \frac{\alpha}{2}\right) - \sin\left(\frac{\alpha}{2}\right) \exp\left[2\pi i Sg\left(\frac{t}{2} - t_1\right)\right] \right\} \\ \phi_g^* &= -\frac{i}{Sg Sg} \exp\left(\frac{iz}{2}\right) \exp(\pi i Sg t) \left\{ \sin\left(\pi t Sg + \frac{\alpha}{2}\right) - \sin\left(\frac{\alpha}{2}\right) \exp\left[-2\pi i Sg\left(\frac{t}{2} - t_1\right)\right] \right\}\end{aligned}$$

振幅 $I_g = \phi_g \phi_g^*$

$$= \frac{1}{Sg Sg} \left\{ \sin^2\left(\pi t Sg + \frac{\alpha}{2}\right) + \sin^2\left(\frac{\alpha}{2}\right) - 2 \sin\left(\frac{\alpha}{2}\right) \sin\left(\pi t Sg + \frac{\pi}{2}\right) - \cos(\pi Sg t') \right\}$$

其中: $t' = \frac{t}{2} - t_1$

由上式，可以有如下几点分析：

1) 若试样厚度 t ，取向 S_g 和 α 恒定，则 I_g 随层叠 s_g 的周期性变化，周期是 $1/S_g$ 。

2) 层错面在试样中同一深度处， I_g 相同，因此，层错像表现为平行于试样表面与层错面直线的暗暗相间的条纹。

3) S_g 增加，取向更偏离 Bragg 位置，条纹间距变大，变密，强度锐减。

4) 由于 $\cos(2\pi S_g t')$ 为偶函数，条纹强度相对于中心呈对称分布。

5) 倾斜层错与楔形样品边缘的干涉条纹很相似，周期周期为 $1/S_g$ ，其区别在于：

- 厚度条纹无中心对称分布的特点

- 层错衍射是由附加位相角 α 提供的，选择适当的摆角反射，可使 $\alpha=2\pi d \cdot R_u=0$ ，层错条纹可消失。而干涉条纹仅由不同厚度造成，不能通过改变 d 而使之消失。

层错衍射的形成，也可以用振幅位相图来阐明，此处从略。

3. 位错的畴场像

位错是晶体中原子排列的一种特殊状态。

处于位错附近的原子偏离原有正常位置而产生畸变。位错周围的应力场变化引入的附加相位因子又是畸变位移矢量 \vec{R}_n 的连续分布函数，不难看出是一种突变。

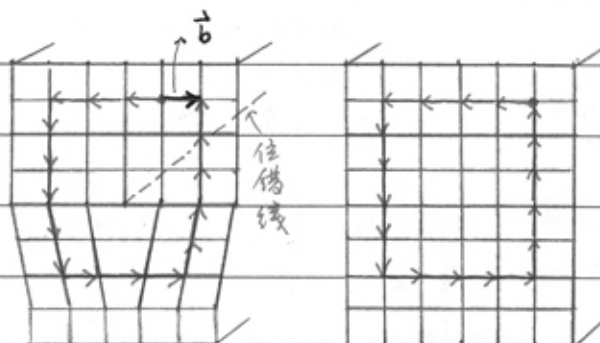
利用 TEM 显示晶体位错具有独特优点，它不仅能证实位错的客观存在，而且能直观地反映出位错的性质、增殖、扩展及其相互作用。

1) 位错类型和柏拉克斯矢量 \vec{b}

位错主要有刃型位错、螺型位错和混合型位错，柏拉克斯矢量 \vec{b} 是描述位错的一个重要参数。

柏拉克斯矢量 \vec{b} 的定义如下：

在完整晶体中作闭合迴路，然后在实际晶体中作出环绕位错的不闭合迴路，将从起亘到终点的缺口矢量定义为柏拉克斯矢量。

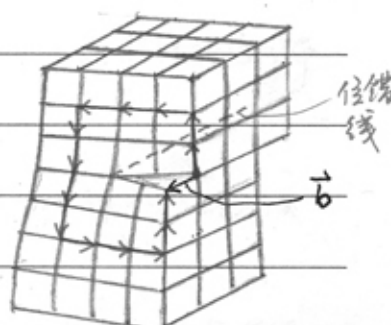


刃型位错晶体

$\vec{b} \perp$ 位错线

符号上

完整晶体



螺型位错晶体

$\vec{b} \parallel$ 位错线

符号 \swarrow

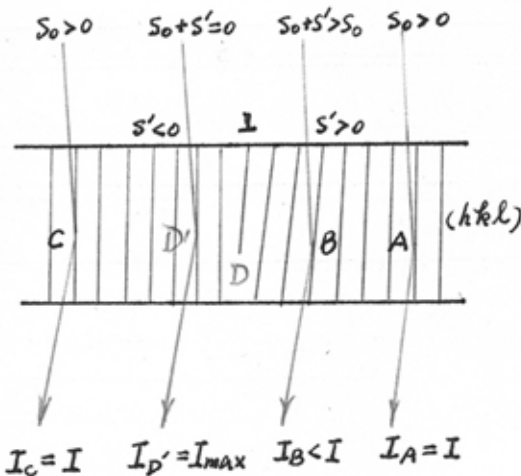
定义柏拉克斯矢量的端点方案。

2) 位错的种类及特点

位错有各种不同的形态，其分类分析是一个相当复杂的问题。这里，仅以刃型位错衍变的形成与特征为例作一简要的讨论，以从本质上了解位错衍变的形成及特点。

如图， (hkl) 是由位错 D 而引起的局部畸变的一组晶面，当以 $\bar{h}kl$ 为操作及射时，其偏离率为 s_0 ，偏移量 $s_0 > 0$ 。

远离位错 D 区域，如图中 A 和 C 的位置，是无畸变的理想晶体区域，衍射强度为 I。 (这相当于暗场像中的背景强度)



- 位错引起基面晶面局部偏转，意味共同拥有附加偏差 S' 存在。 S' 应为连续变化的函数。

位错线右侧 $S' > 0$

位错线左侧 $S' < 0$

- 在位错线左侧，总存在基址如 D' 处，有

$$S_0 + S' = 0$$

这时， D' 处严格满足 Bragg 条件。其衍射强度有最大值。即

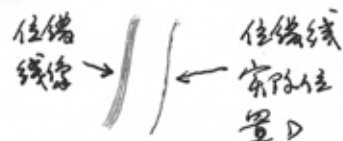
$$I_{D'} = I_{max}$$

- 在位错线右侧，总存

$$S_0 + S' > S_0,$$

则 $I_B < I$

于是，整个强弱的衍射强度分布如图所示。



- 依据上述分析可知，在偏离位错实芯的位置左侧，将产生位错像的像（DF 为亮线，BF 反対为暗线）
- 不难理解，若及如偏离参数 $S_0 < 0$ ，则位错像将出现在右侧。
- 一般情况下，位错像与常规位置相距几个纳米左右。这就是刃型位错被形成的原因及基本操作。

3) 位错的不可见条件

晶体缺陷的不可见条件是： $\vec{g} \cdot \vec{R}_n = 0$

位错属纯滑移一类，李型符合这一规律。它是操作反射，在实验中是未知的，问题的关键是找出 \vec{R}_n 的数学表达式。

在位错中， \vec{R}_n 是由 \vec{b} 表示的，其关系如下式

$$\vec{R}_n = \frac{1}{2\pi} \left[\vec{b}\beta + \vec{b}e \frac{\sin^2 \beta}{4(1-\nu)} + \vec{b} \times \vec{u} \left(\frac{(1-2\nu)}{2(1-\nu)} b_n r + \frac{\cos^2 \beta}{4(1-\nu)} \right) \right]$$

其中， ν 为泊松比， $\vec{b}e$ 为位错刃型矢量， \vec{u} 为位错线方向单位矢量，
 β 是坐标角， r 是位错核心带弯曲度区的半径

晶体位错种类消失的条件如下： $\vec{g} \cdot \vec{R}_n = 0$

螺位错

刃位错

混合型位错

$$\vec{g} \cdot \vec{b} = 0$$

(此时, $\vec{b}e = 0, \vec{b} \times \vec{u} = 0$)

\vec{b} 就是螺位错

$$\begin{cases} \vec{g} \cdot \vec{b} = 0 \\ \vec{g} \cdot (\vec{b} \times \vec{u}) = 0 \end{cases}$$

(此时, $\vec{b} = \vec{b}e$)

$$\begin{cases} \vec{g} \cdot \vec{b} = 0 \\ \vec{g} \cdot \vec{b}e = 0 \\ \vec{g} \cdot (\vec{b} \times \vec{u}) = 0 \end{cases}$$

这是理论的不可见条件。对刃型位错和混合型位错，条件

相当苛刻。如刃型位错，即要求操作反射束只在它平行
 的方向（因为 $\vec{b} \times \vec{u}$ ）。

实际操作中，只满足：

$$\vec{g} \cdot \vec{b} = 0$$

这时，不仅螺位错不可见，后者也有很弱的线条衍射。
 可视为位错消失。为简化起见，确定位错不可见条件为：

$$\vec{g} \cdot \vec{b} = 0$$

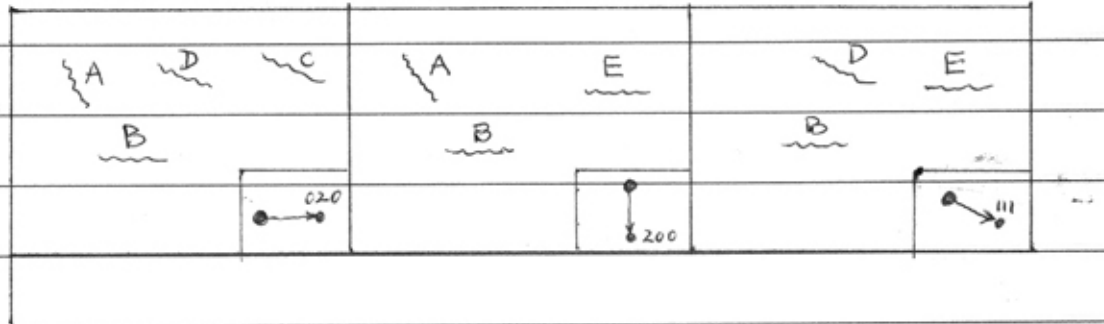
实践证明表明，这一条件对各向同性材料的位错分析是
 相当令人满意的。

4) 位错柏格斯矢量 \vec{b} 的确定

举例说明如下。

前人早已研究确定，对于 b.c.c 晶体，全位错为 $\vec{b} = \frac{1}{2} \langle 110 \rangle$ ，即有 6 个不同的柏格斯矢量。

实验中用三个择优反射 $g_1(020)$, $g_2(200)$, $g_3(11\bar{1})$ ，获得了三种晶场像如图所示（选择铸态晶体，二重近似条件下获得）。



对于 b.c.c 晶体全位错， \vec{b} 矢量如下表所列的六种

$\frac{1}{2} \vec{b}$	$\frac{1}{2} [110]$	$\frac{1}{2} [101]$	$\frac{1}{2} [011]$	$\frac{1}{2} [10\bar{1}]$	$\frac{1}{2} [\bar{1}10]$	$\frac{1}{2} [0\bar{1}\bar{1}]$
020	1	0	1	0	1	1
200	1	1	0	1	1	0
111	1	0	0	1	0	1
B		C	E	A	D	

根据上表，可确定 A、B、C、D、E 5 个位错的 \vec{b} 为哪一种。

由此可知，• 有目的地选择择优反射 g

• 从图中位错的显示情况确定其柏格斯矢量 \vec{b}

对于 b.c.c 晶体和密排六方晶体（它们类似），也可类似处理。

b.c.c 晶体全位错 $\vec{b} = \frac{1}{2} \langle 111 \rangle$

六角形晶体 $\vec{b} = \frac{1}{3} \langle 11\bar{2}0 \rangle$ 或 $\frac{1}{3} \langle 110 \rangle$

§ 5 相位衬度像 (高分辨率电子显微图像)

高分辨率像的相位来说是电子波与物样作用后的相位变化，故称相位衬度像。

高分辨率像的成像过程有两个环节：

{ 一 是 电子波与物样相互作用，电子波被物样所调制，在物样下面面形成透射波

二 是 透射波经物镜而成像，普通多极放大量子在荧光屏上

为简明了物样与电子的相互作用，应从麦束动力学电子衍射分析，

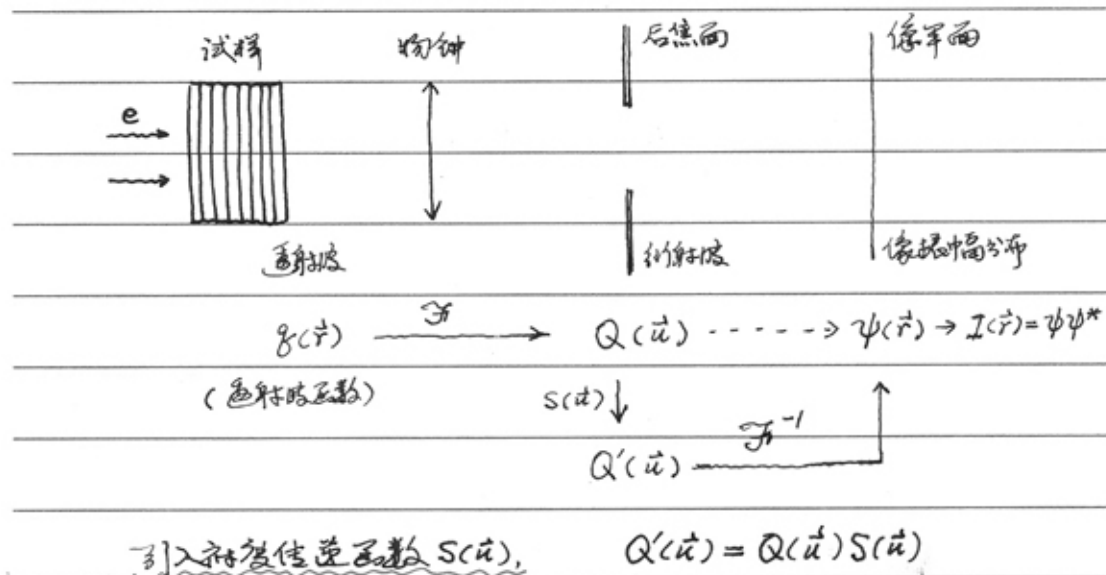
描述麦束动力学电子衍射的途径有两种

{ 一是 从 Schrodinger 方程出发

{ 二是 从物理光学出发 (主要是 Cowley 和 Moodie 提出的方法)

物理光学方法简便，已成为高分辨率像分析和计算的主要方法。我们主要介绍这一部分。

高分辨率像的成像过程可由下图示意



1. 重射波函数 $g(\vec{r})$ 的近似表达式

由高压 V_0 加速的电子波长 $\lambda = h/\sqrt{2meV_0}$ (未考虑相对论修正)

电子在试样中传播时，波长将随电子的位置而变化。

$$\lambda'(\vec{r}) = \frac{h}{\sqrt{2me(V_0 + \phi(\vec{r}))}} = \frac{h}{\sqrt{2meV_0(1 + \phi(\vec{r})/V_0)}} \\ = \lambda (1 + \phi(\vec{r})/V_0)^{-1/2}$$

沿电场方向运动，经试样一层厚 d_z 后，电子被电场势场

沿 z 方向与原电场产生一相位差 (进入晶体的电场与真空中电场)

$$d\phi'(\vec{r}) = \left(\frac{2\pi}{\lambda'} - \frac{2\pi}{\lambda} \right) dz = 2\pi dz \left(\frac{1}{\lambda'} - \frac{1}{\lambda} \right) \\ = \frac{2\pi}{\lambda} dz \left[(1 + \phi(\vec{r})/V_0)^{1/2} - 1 \right]$$

当 $\phi(\vec{r}) \ll V_0$ 时， $(1 + \phi(\vec{r})/V_0)^{1/2} \approx 1 + \phi(\vec{r})/2V_0$

于是： $d\phi'(\vec{r}) = \frac{2\pi}{\lambda} dz \cdot \frac{\phi(\vec{r})}{2V_0} = \frac{\pi}{\lambda V_0} \phi(\vec{r}) dz$

定义： $\sigma = \frac{\pi}{\lambda V_0}$ 为相互作用系数

则在整片物样厚度上产生的总相位差为：

$$\phi(xy) = \sigma \int_0^t \phi(xyz) dz = \sigma \varphi(xy)$$

$\varphi(xy)$ 表示物样势场在 y 方向上得投影。

由于恒定电场使试样无横向改变，而仅有相位变化，这时试样就象一个纯相位体，故其重射波函数为

$$g(xy) = e^{-i\varphi(xy)} = \exp[-i\sigma \varphi(xy)]$$

又因为试样极高，若满足条件 $\sigma \varphi(xy) \ll 1$ ，该试样称弱相位体

于是 $g(xy) \approx 1 - i\sigma \varphi(xy)$

满足此式的物样称为弱相位体。上式表示弱相位近似条件下物样的重射波函数。

2. 物镜成像过程和衍度传递函数

根据 Fourier 光学(物理光学),一个物波函数经物镜成像后,在其后焦面形成的衍射波相当于一次 Fourier 变换,即,

$$Q(\vec{u}) = \int g(\vec{r}) e^{-2\pi i (\vec{u} \cdot \vec{r})} d\vec{r} = \mathcal{F}[g(\vec{r})]$$

若物镜是一理想透镜,无像差,则由 Fourier 光学知,从 F₂ 焦平面到像平面是一次 Fourier 反变换,于是有,

$$\psi(\vec{r}) = \int Q(\vec{u}) e^{2\pi i (\vec{r} \cdot \vec{u})} d\vec{u} = \mathcal{F}^{-1}[\mathcal{F}[g(\vec{r})]] = g(\vec{r})$$

这就是普通物理学中所得到的结果。新结果表明,像是物的准确复现。

对于相对物像而言,此时的像强度为:

$$I(\vec{r}) = \psi(\vec{r}) \psi^*(\vec{r}) = g(\vec{r}) g^*(\vec{r}) = e^{-i\omega \varphi} e^{i\omega \varphi} = e^0 = 1$$

这个结果意味着,对于理想透镜,相对物像像将不可抗拒任何失真。

那么,高分辨率的衍度又是如何引入的呢?原因在于除了理想的透镜都存在像差。而且要获得高分辨率像,还必须意识到像不在准确的聚焦位置,而应用一个合适的失焦量。

为此,首先需要引入衍度传递函数的概念。

物镜的像差、失焦量、物镜光栏对像的影响,相当于在物镜后焦平面上给衍射波乘上一个因子,该因子称之为衍度传递函数,用 S(\vec{u}) 表示。

引入複數傳達函數后， $Q'(\vec{u}) = Q(\vec{u})S(\vec{u})$

于是，像波函数为： $\psi(\vec{r}) = \mathcal{F}^{-1}[Q(\vec{u})S(\vec{u})] = g(\vec{r}) * s(\vec{r})$

其中： $s(\vec{r}) = \mathcal{F}^{-1}[S(\vec{u})]$ 为複數傳達函數的Fourier反变换。

上式表明，像面波是被 $S(\vec{u})$ 所调制的物面波。

在最简单的情况下： $S(\vec{u}) = A(\vec{u})S_1(\vec{u})\underbrace{S_2(\vec{u})}_{球差}\underbrace{S_3(\vec{u})}_{色差}\underbrace{S_4(\vec{u})}_{束发散度}$

↓
光栏函数 球差 离焦量 色差 束发散度

逐项讨论：

球差、离焦量影响： $S_1(\vec{u}) = e^{i\chi_1(\vec{u})}$ $\chi_1 = \frac{\pi}{2}C_s\lambda^3 u^4 + \pi\Delta f\lambda u^2$

球差影响 离焦量影响

色差影响： $S_2(\vec{u}) = e^{i\chi_2(\vec{u})}$ $\chi_2 = \frac{1}{2}\pi^2\lambda^2 u^4 D^2$

D 是由色差引起的离焦高斯分布函数的均方差

束发散度影响： $S_3(\vec{u}) = ^2J_1(\chi_3)/\chi_3$

$\chi_3 = |\alpha\pi\alpha[u\Delta f + \lambda(\lambda C_s - i\pi D^2)u^3]|$

其中，色差的影响可以通过使用相干光源（如 LaB₆灯丝）消除

束发散度可以通过光镜组获得平行光而消除。

光栏的影响 $A(\vec{u}) = \begin{cases} 1 & |\vec{u}| \leq u_0 \\ 0 & |\vec{u}| > u_0 \end{cases}$

u_0 是光栏半径，物镜、光栏和空间分辨率大于 u_0 的衍射波挡住，使之不能参与成像，其作用是限制了成像的分辨率。但在 $|\vec{u}| \leq u_0$ 部分，光栏的作用不存在。

于是：複數傳達函數实为（当光栏无限大时）

$$S(\vec{u}) = e^{i\chi_1(\vec{u})}$$

此时，像波函数为：

$$\psi(\vec{r}) = g(\vec{r}) * \left[\mathcal{F}^{-1}(e^{iX_1(\vec{u})}) \right]$$

像强度为(因至 $\sigma\varphi(\vec{r})$ 的平方项)：

$$I(\vec{r}) = \psi(\vec{r}) \psi^*(\vec{r}) = 1 + 2\sigma\varphi(\vec{r}) * \mathcal{F}^{-1}[\sin X_1(\vec{u})]$$

在 \vec{u} 为合透镜欠焦量 Δf 下, $\sin X_1(\vec{u})$ 的值可在相当大的空间

范围内接近于 -1, 此时

$$I(\vec{r}) = 1 - 2\sigma\varphi(\vec{r})$$

此时的像强度分布称为最佳欠焦像

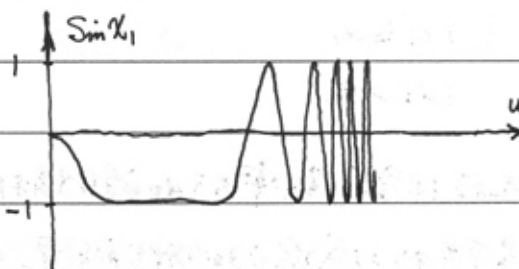
其像差系数为

$$C(\vec{r}) = I(\vec{r}) - 1 = 2\sigma\varphi(\vec{r})$$

这意味着, 像是晶体场的直接投影。

3. 关于 $\sin X_1$ 函数的讨论

$\sin X_1$ 函数综合反映了球差 C_s 和欠焦量 Δf 对成像质量的影响。其函数图像如下：



$\sin X_1$ 在像强度中与理想的像重叠在一起, 很

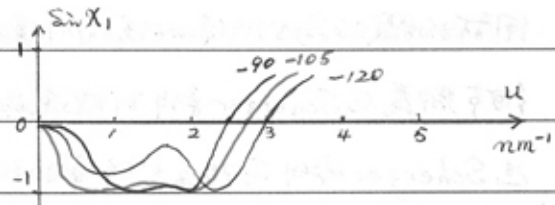
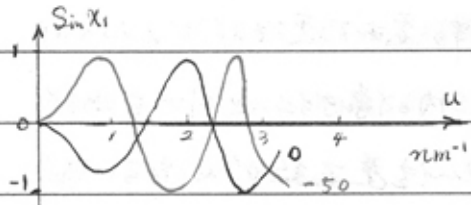
难重构理想的像。所以

在最佳性的讨论中,

往往取 $\sin X_1 = -1$ 为一

般作为成像操作时所追求的条件。

1) 电子束宽对 $\sin X_1$ 的影响

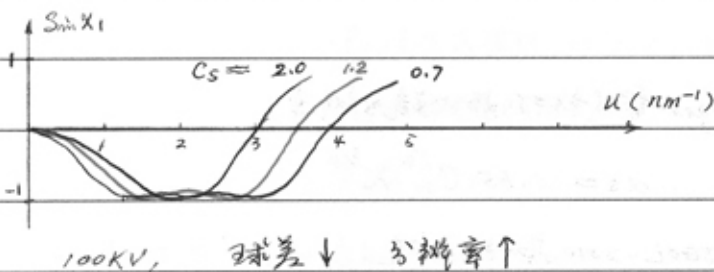


$100 \text{ kV}, C_s = 2 \text{ mm}, \Delta f = 15 \text{ nm}$ 为单位

由图可见，总可以找到一个最佳焦距值 Δf ，使 $\sin X_1$ 曲线在较宽时其绝对值接近于 1 的平台。

$\sin X_1$ 曲线与透镜柱轴至且之前的所有物空间距离的调节，都几乎不影响成像分辨率于适当条件下理想的像，也就是说，它们是可以补偿的。这被称之为成像的分辨率——Scherzer 条件下的分辨率。如上右图，高压 100 kV ，球差系数 $C_s = 2 \text{ mm}$ ，欠焦量 $\Delta f = -105 \text{ nm}$ 时， $\sin X_1$ 有最宽的平台，其极限对应 0.35 nm ，即仪器的理想分辨率率为 0.35 nm 。

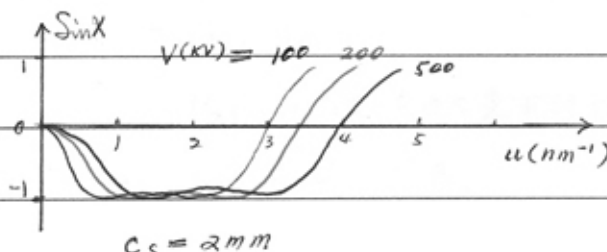
2) 球差系数 C_s 对 $\sin X_1$ 的影响



100 kV , 球差 \downarrow 分辨率 \uparrow

由此可知，球差系数越小，分辨率越高，仪器追求小的球差系数

3) 电子能量(加速电压)对 $\sin X_1$ 的影响



由图可知，电压越高(能量越大)

仪器分辨率越高，追求仪器高

的加速电压，能量越高仪器分辨率

的余地。

Scherzer 聚焦在高分辨率电子显微学的发展中起着重要作用。要想用所拍摄的高分辨率像对结构作直接解释，要求所要解释的像的全部细节都应在 Scherzer 条件所规定的极限之内。像中往往同时呈现出 Scherzer 条件所规定分辨率的细节，但从传播函数的曲线可以看出，那是由于函数随着要解释的细节的间距的微小变化而显著的变化，在这个分辨率区域内重建的像的对比不会是其真结构的反映，而是复杂的干涉效应的结果。

4. 高分辨率的最佳欠焦条件

经计算，高分辨率像的最佳欠焦条件由下式确定

$$\Delta f = 1.2 (C_s \lambda)^{1/2}$$

以 JEOL-2010 为例子为例

$$C_s = 0.5 \text{ mm}, \quad \lambda = 0.0251 \text{ \AA}$$

$$\Delta f = 1.2 (0.5 \text{ mm} \times 0.0251 \text{ \AA})^{1/2} \approx 42.6 \text{ nm}$$

5. Scherzer 聚焦条件下衍射分辨率

$$d_s = 0.65 C_s^{1/4} \lambda^{3/4}$$

对于 JEOL-2010 高分辨率电镜

$$d_s = 0.65 \sqrt[4]{0.5 \text{ mm}} \sqrt[4]{(0.0251 \text{ \AA})^3}$$

$$\approx 0.194 \text{ nm}$$

6. 高分辨像的种类

由于物镜条件和试样厚度不同，可以把具有不同结构信息的高分辨像区分为五种。

1) 一维条纹像

如果用物镜光栏选择后焦平面的透射波和衍射波来成像，由于两个波相干涉，可得到一维方向上强度呈周期变化的晶格条纹，这就是所谓的“一维条纹像”。

这与下述的一维结构像不同，它不要求电子束严格平行于晶格平面。

最典型的高分辨率像就是晶物质的观察，获得的电子衍射图像是衍射环，当样品距离透镜与观察的距离相等时，当样品产生衍射波时，由于透射波和衍射波的干涉，便出现晶格条纹。

2) 一维结构像

如果倾斜样品，使电子束平行于某一晶面簇入射，可获得一维衍射条件的花样如下（此时透射波强度分布对称），使用这种衍射花样在

最佳生焦条件下拍摄的高分辨像不
同于一维条纹像。虽然它是线性的，但它
含有样品结构的信息。将实验观察的

像与模拟计算机对照，可知像的衬度与原子排列的对应关系。如
Bi系强导体的一维结构像，明亮的细线对应于 Cu-O 层，从它的数量
可推知 Cu-O 层堆积的数量。这种像对于高清晰层结构观察非常有
效，堆积是有意义的。

一维结构像只要使电子束平行于某一晶面入射即可，类似于二维像。
晶体方位的调整较为简单。

3) 二维品格像

如果电子束平行于某晶带轴由入射，可获得二维衍射条件，即
衍射花样相当于透射斑是二维对称分布的，且随周期性，在衍
射斑和透射斑末端生成的二维图像中，纯观察到的是单胞的二
维品格像，这个像仅含单胞尺度信息，不含单胞内反相调剂的
信息。

4) 三维结构像(反相结构像)

当电子束平行于某晶带轴入射时，得到一张三维电子衍射花样
像。若用电镜分辨率允许的物镜光栏直径恰好透射斑和高级衍
射斑成像，或者根本不调物镜光栏，就能获得含有单胞内
反相调剂的正确信息的像。

(结构像要求试样极薄，一般要在 10 nm 以内甚至更薄)

5) 蜂窝像(暗场)

7. 材料显微结构的高分辨表征

- 1) 物相判定
- 2) 相变的原位观察
- 3) 钢的组织研究
- 4) 晶界和表面(组织研究)
- 5) 调制组织的研究
- 6) 内部材料的研究
- 7) 粒子数(如颗粒、粒径和物理性质的定量)

8) 高分辨像的模拟计算

前面我们讨论了高分辨像在什么条件下通过函数的表达式为

$$g(\vec{r}) = 1 - \bar{c} \sigma^2(\vec{r})$$

其像强度分布为 $I(x, y) = 1 - 2\sigma^2(x, y)$

但高分辨像通常要求晶粒极细($< 5 \text{ nm}$)，实际样品厚度往往超过这一限度，这时 HRTEM 像不能完全由直视解释。另外，高分辨像与样品厚度及分辨率而变化，需根据实验条件计算模拟像，并与观察结果进行对比。

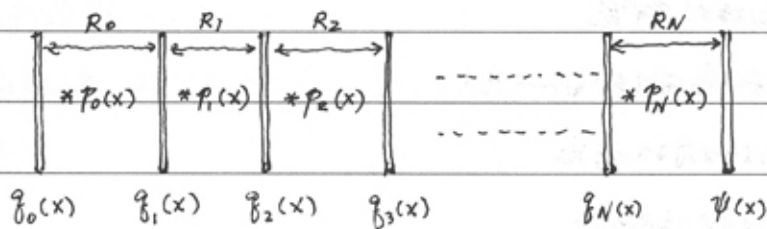
Cowley 和 Moodie 创立的多层模型，成为像模拟计算的基础。与单层像进行解释的理论基础。

多层模型的基本思想和公式如下。

首先晶体(结构)建立模型，再将这种模型结构投影在若干层上，电子一次与这些层相互作用而最后到达试样表面。

电场波在均匀中的传播过程可分为两个环节。

- 电子穿过滤片，在滤片下表面形成辐射波
- 电场波从上一片的下表面到下一片的上表面要遭受 Fresnel 作用



$$\psi_{N+1}(x) = g_N(x) \left[\dots \left[g_2(x) \left[g_1(x) \left[g_0(x) * p_0(x) \right] * p_1(x) \right] * p_2(x) \right] \dots \right] * p_N(x)$$

其中: $p_n(x) = \frac{i}{\lambda R_n} \exp \left(-\frac{i\pi}{\lambda R_n} x^2 \right)$ 为 Fresnel 传播因子

$\psi_{N+1}(x)$ 为该层下表面的辐射函数。

多层传播的突出优点，可以处理大量复杂的动力学相互作用。

这是基础方法，难以实现自动，因此，多层法在 HREM 微结构分析

计算中成为主要和基本的方法。

第四章 X射线能级谱 定量分析

1. 特征X射线的产生及采集

在物理课里讲过，原子中的电子在由高能态向低能态跃迁时将发射X射线光子。

不同能级之间的电子跃迁发射的X射线束将组成特征的X射线谱。有K线系、L线系、M线系……等。

那么，这种X射线特征谱是如何定义的呢？

原子中的电子状态由四个量子数描述

主量子数 n
角量子数 l
磁量子数 m
自旋量子数 s

主量子数 $n = 1, 2, 3, \dots$ 相应于 K, L, M ……壳层

每个壳层又分为若干个亚壳层，亚壳层数取决于 l 和 s 的组合

$$\text{即 } j = l + s \quad (s = \pm \frac{1}{2})$$

• 对 K 层： $l=0, j=\frac{1}{2}$

• “ L 层： $l=0, 1, j=\frac{1}{2}, \frac{3}{2}$

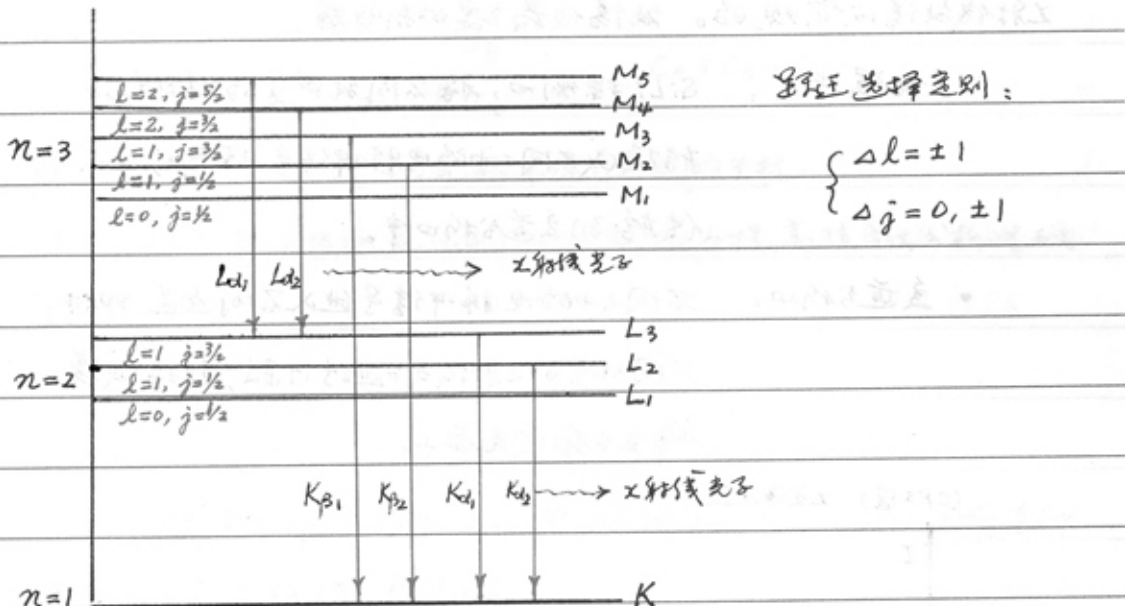
故 L 层有三个亚壳层

$L_1: (l=0, j=\frac{1}{2})$
$L_2: (l=1, j=\frac{1}{2})$
$L_3: (l=1, j=\frac{3}{2})$

• 对 M 层：有五个亚层

$M_1: (l=0, j=\frac{1}{2})$
$M_2: (l=1, j=\frac{1}{2})$
$M_3: (l=1, j=\frac{3}{2})$
$M_4: (l=2, j=\frac{3}{2})$
$M_5: (l=2, j=\frac{5}{2})$

常用的X射线特征谱线的发射过程如下所示



K线系：各层电子跃迁到最内层（K壳层）所发射的X射线

L线系： $n>2$ 各层电子跃迁到L壳层($n=2$)所发射的X射线

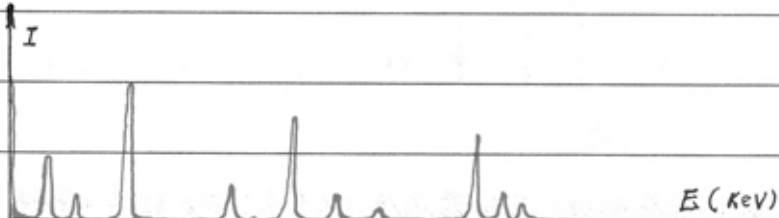
M线系： $n>3$ 各层电子跃迁到M壳层($n=3$)所发射的X射线

各种元素的K、L、M线系的谱线分别对应确定的纯量值。这些纯量值称特征X射线。根据这些确定的纯量值而对应的谱峰，便可以定样品中所含的元素。

在电子显微镜中，元件或试样的采集和分析是由配置在电镜上的
X射线能谱仪实现的。能谱仪最主要部件有：

- 能谱探头：SiLi探测器，将不同能量的X射线光子
转换成不同大小的电脉冲信号，经整形放大
传输出到多道分析器中。
- 多道分析器：不同大小的电脉冲信号进入不同通道，即对
不同能量的X射线光子进行计数，转换成谱
峰显示在荧光屏上。

(CPS值) 脉冲计数。



§2. 试样的无损样品分析

对于被试样，入射电子束不穿透都穿通样品，可忽略电子的散射。
样品对X射线的吸收、以及二次荧光效应对成像分析的影响。

这时，样品某区域的两元素 A 和 B 的原始 X 射线强度的比
值 I_A/I_B 正比于它们在该区域(定量)含量百分比的比值，即

$$\frac{c_A}{c_B} = k_{AB} \frac{I_A}{I_B}$$

$$c_A + c_B = 1$$

比例因子 k_{AB} 称为 Cliff-Lorimer 因子。简称 C-L 因子。

若试样中含两个元素，如有 A、B、C 三种元素，则

$$\begin{cases} CA/C_B = k_{AB} I_A/I_B \\ CB/C_C = k_{BC} I_B/I_C \end{cases} \quad CA + C_B + C_C = 1$$

由此可见，应用干涉可以克服电流造成的干扰。因此，如何准确地测出固溶度就成为提高准确度的关键。

1. Cliff-Lorimer 实验方法

直接测得两个元素的 k_{AB} 固溶度困难，但可利用含有某种特定元素的样品来间接求得。

例如含有大量的硅酸盐，且其成分为已准确地测定，可作为样品。于是，其它元素相对于 Si 元素的固溶度很容易由样品得到。

$$\therefore \begin{cases} CA/C_{Si} = k_{ASi} I_A/I_{Si} \\ CB/C_{Si} = k_{BSi} I_B/I_{Si} \end{cases} \quad \begin{cases} k_{ASi} = (CA/C_{Si})(I_{Si}/I_A) \\ k_{BSi} = (CB/C_{Si})(I_{Si}/I_B) \end{cases}$$

于是有 $k_{AB} = (CA/C_B)(I_B/I_A) = \frac{(CA/C_{Si})(I_{Si}/I_A)}{(CB/C_{Si})(I_{Si}/I_B)} = \frac{k_{ASi}}{k_{BSi}}$

已知为 AB 后，仅可用实验获得 I_A/I_B ，求得试样中 CA/C_B 的相对含量。

如果把所有元素相对于 Si 的固溶度都利用含有 Si 的样品测定，而测出所有元素之间的固溶度都可以计算得到，由此可制成表。根据待测样品中不同元素的谱峰强度工求得任意两种或多种元素的相对含量，即可求出任意样品中各种元素的相对含量。

然而，实际上很难获得十分纯净的各种元素相对 Si 的
字样。因此，至今相对与 Si 的长因子还不能说是实际工作的需
要。近 20 多年来，不少国内学者致力于这项工作，我们实验室也
曾在 10 年前建立和补充了 20 多个 cliff-Lorimer 因子(见图 3)，如 93
年《地质学报》中我们的一篇文章。
值得指出的是

不同体系

不同浓度 \rightarrow 长因子值不同 \rightarrow 故仍有大量长因子需补充

不同温度

2. Goldstein 理论计算长因子

利用富金值确定长因子的困难是难以找到更多合适的
材料。于是，人们寻求理论计算长因子的途径。

对于铑这样，可以考虑它的电子能带结构、样品的吸收和二次
荧光效应，于是， i 元素产生的 X 射线强度 I_i 可由下式确定。

$$I_i = \text{const} \frac{C_i w_i Q_i A_i T_i}{A_i}$$

式中： C_i ： i 元素的重量百分比

w_i ： i 元素基线系(如 K 线系)的 X 射线荧光产率

A_i ： i 元素中待分析谱线占基线系的份额(如 $K_{d1}/(K_{d1}+K_{d2})$)

Q_i ： i 元素的成像截面

A_i ： i 元素的原子量

于是，该材料中 A、B 两元素基特拉普峰的强度比是

$$\frac{I_A}{I_B} = \frac{(C_A w_A Q_A A_A T_A / A_A)}{(C_B w_B Q_B A_B T_B / A_B)}$$

$$k_{AB} = \left(\frac{C_A}{C_B}\right) \left(\frac{I_B}{I_A}\right) = \frac{(Q\omega AT/A)_A}{(Q\omega AT/A)_B}$$

上述 Q、ω、a、T 等都可以通过物理理论进行表达式，一般是
经验公式，此处从略。根据 k_{AB} 的表达式，便可编制
程序计算任意两种不同元素的 k_{AB} 值。进而编制程序计
算 I_A/I_B 计算出 C_A/C_B

这就是现有文献值数据库 (EDS) 被广泛应用的无校正定量分
析方法。简而言之即常数相关系数法。